

## **Poznámky k teorii rozptylu**

Tento text obsahuje spíše než výklad soubor užívaných vzorečků. Není proto ani řazení kapitol nijak systematické. Text vznikl pro část přednášky Pokročilá kvantová mechanika v jarním semestru 2005.

Michal Lenc.

<u>1</u>	<u>Difrakční integrál</u>	3
<u>2</u>	<u>Huygensův princip</u>	4
<u>3</u>	<u>Výpočet Fresnelova integrálu</u>	5
<u>4</u>	<u>Změna fáze při doteku kaustiky (Guyův fázový posuv)</u>	5
<u>5</u>	<u>Účinný průřez a optický teorém</u>	6
<u>6</u>	<u>Rozptyl v potenciálovém poli</u>	8
<u>7</u>	<u>Operátor Greenovy funkce</u>	11
<u>8</u>	<u>Užitečné zobecněné funkce</u>	13
<u>9</u>	<u>Užitečné ortonormální soustavy funkcí</u>	16
<u>9.1</u>	<u>Legendreovy polynomy</u>	16
<u>9.2</u>	<u>Sférické Besselovy funkce</u>	17
<u>10</u>	<u>Exaktní teorie rozptylu</u>	19
<u>11</u>	<u>Lippmanova – Schrödingerova rovnice</u>	21
<u>12</u>	<u>Parciální vlny</u>	25
<u>13</u>	<u>Rozptyl při vysokých energiích</u>	28
<u>14</u>	<u>Více o parciálních vlnách</u>	29
<u>14.1</u>	<u>Bornova aproximace</u>	30
<u>14.2</u>	<u>Kvasiklasická aproximace</u>	30
<u>14.3</u>	<u>Rozptyl při vysokých energiích</u>	32
<u>14.4</u>	<u>Rozptyl při nízkých energiích</u>	33
<u>15</u>	<u>Nepružný rozptyl</u>	34
<u>15.1</u>	<u>Parciální vlny</u>	34
<u>15.2</u>	<u>Komplexní index lomu prostředí</u>	35
<u>16</u>	<u>Příklady</u>	36
<u>16.1</u>	<u>Rozptyl nukleonů</u>	36
<u>16.2</u>	<u>Rozptyl rychlých neutronů na jádře</u>	37
<u>16.3</u>	<u>Rozptyl rychlých elektronů na atomu</u>	37
<u>17</u>	<u>Rozptyl identických částic</u>	39
<u>18</u>	<u>Excitace atomu při srážce s částicí</u>	40

## 1 Difrakční integrál.

Hledáme řešení Helmholtzovy rovnice

$$\Delta \psi(\vec{r}) + k^2 \psi(\vec{r}) = 0 \quad (1.1)$$

se zadanou hodnotou v rovině  $z=z_0$  pro poloprostor  $z \geq z_0$ . Greenova funkce je

$$G(\vec{r}, \vec{r}_0) = \frac{\exp(i k |\vec{r} - \vec{r}_0|)}{|\vec{r} - \vec{r}_0|} \quad , \quad (1.2)$$

neboť pro  $\vec{r} \neq \vec{r}_0$  je (1.2) řešením (1.1) a při integraci po kouli se středem v  $\vec{r}$  dostáváme

$$\lim_{\rho \rightarrow 0} \int_{S_\rho} (-\vec{e}_r) \cdot \vec{e}_r \left( \frac{i k}{\rho} - \frac{1}{\rho^2} \right) \exp\{i k \rho\} \rho^2 d\Omega = 4\pi \quad , \quad (1.3)$$

takže můžeme psát Greenovu větu ve tvaru

$$\begin{aligned} \psi(\vec{r}) &= \frac{1}{4\pi} \int_{z \geq z_0} (G \Delta \psi - \psi \Delta G) d x_0 d y_0 d z_0 = \\ &= \frac{1}{4\pi} \int_{z_0} \left( \psi \frac{\partial G}{\partial n} - G \frac{\partial \psi}{\partial n} \right) d x_0 d y_0 \quad , \quad \frac{\partial}{\partial n} = \frac{\partial}{\partial z_0} \quad . \end{aligned} \quad (1.4)$$

Ve vztahu (1.4) jsme užili nikoliv vnější normálu (míří proti směru osy  $z$ ), ale "normálu k vlnoploše" (ve směru osy  $z$ ). Sommerfeld využil volnosti ve volbě Greenovy funkce:

$$\begin{aligned} G &= \lim_{\zeta \rightarrow z_0} \left[ \frac{\exp\{i k r_1\}}{r_1} - \frac{\exp\{i k r_2\}}{r_2} \right] \quad , \\ r_1 &= \left[ (x - x_0)^2 + (y - y_0)^2 + (z - \zeta)^2 \right]^{1/2} \quad , \quad r_1 = \left[ (x - x_0)^2 + (y - y_0)^2 + (z + \zeta - 2z_0)^2 \right]^{1/2} \quad . \end{aligned} \quad (1.5)$$

Máme tak

$$\begin{aligned} G(|\vec{r} - \vec{r}_0|) &= 0 \quad , \quad \frac{\partial G}{\partial n} = \lim_{\zeta \rightarrow z_0} \left[ \frac{\partial r_1}{\partial \zeta} \frac{d}{dr_1} \left( \frac{\exp\{i k r_1\}}{r_1} \right) - \frac{\partial r_2}{\partial \zeta} \frac{d}{dr_2} \left( \frac{\exp\{i k r_2\}}{r_2} \right) \right] \quad , \\ \lim_{\zeta \rightarrow z_0} \left( \frac{\partial r_1}{\partial \zeta} \right) &= - \lim_{\zeta \rightarrow z_0} \left( \frac{\partial r_2}{\partial \zeta} \right) = \frac{z_0 - z}{\left[ (x - x_0)^2 + (y - y_0)^2 + (z - z_0)^2 \right]^{1/2}} = -\cos(\vec{n}, \vec{r} - \vec{r}_0) \quad , \end{aligned} \quad (1.6)$$

Výsledek je tedy

$$\psi(\vec{r}) = \frac{k}{2\pi i} \int_{z_0} \left( 1 - \frac{1}{i k R} \right) \frac{\exp\{i k R\}}{R} \psi(\vec{r}_0) \cos(\vec{n}, \vec{R}) d x_0 d y_0 \quad , \quad (1.7)$$

kde  $\vec{R} = \vec{r} - \vec{r}_0$ . Toto je exaktní výsledek. Druhý člen v první závorce integrandu je vždy zanedbáván.

V dalším si ukážeme odvození difrakčního integrálu z Huygensova principu (podle Landaua a Lifšice).

## 2 Huygensův princip.

Mějme element vlnoplochy  $df$ . Příspěvek tohoto elementu k poli v nějakém bodě  $P$  bude úměrný

- amplitudě pole  $u$  na uvažovaném elementu
- průmětu plochy elementu do normály ve směru paprsku, vedoucího k bodu  $P$  (paprsky, které budou přispívat nezávisí na tvaru plochy)
- přírůstku fáze a poklesu intenzity

Celkem tedy máme

$$u(P) = a \int u \frac{\exp\{ikR\}}{R} d f_n . \quad (2.1)$$

Konstantu  $a$  určíme například pro rovinnou vlnu postupující podél osy  $z$ . Potom pro bod  $P(x,y,z)$  dostatečně vzdálený od roviny  $(\xi, \eta, 0)$  máme

$$\begin{aligned} u \approx a \frac{\exp\{ikz\}}{z} \int_{-\infty}^{\infty} \exp\left\{i \frac{k(x-\xi)^2}{2z}\right\} d\xi \int_{-\infty}^{\infty} \exp\left\{i \frac{k(y-\eta)^2}{2z}\right\} d\eta = \\ \frac{2\pi i}{k} a \exp\{ikz\} \Rightarrow a = \frac{k}{2\pi i} . \end{aligned} \quad (2.2)$$

Máme tak výsledek v souladu s (1.7)

$$u(P) = \frac{k}{2\pi i} \int u(Q) \frac{\exp\{ikR\}}{R} \cos(\vec{n}_Q, \vec{R}) d f_Q . \quad (2.3)$$

Pro zajímavost se podívejme, jak vypadá výpočet pro rovinnou vlnu podle (1.7). Pro bod na ose  $P(0,0,z)$  máme

$$\begin{aligned} u(P) = \frac{k}{2\pi i} \int_0^{2\pi} d\phi \int_0^R \left(1 - \frac{1}{ik(\rho^2 + z^2)^{1/2}}\right) \frac{\exp\{ik(\rho^2 + z^2)^{1/2}\}}{(\rho^2 + z^2)^{1/2}} \frac{z}{(\rho^2 + z^2)^{1/2}} \rho d\rho = \\ -z \int_0^R \frac{d}{d\rho} \left( \frac{\exp\{ik(\rho^2 + z^2)^{1/2}\}}{(\rho^2 + z^2)^{1/2}} \right) d\rho = \exp\{ikz\} - \frac{z \exp\{ik(R^2 + z^2)^{1/2}\}}{(R^2 + z^2)^{1/2}} . \end{aligned} \quad (2.4)$$

Pro  $R \rightarrow \infty$  máme opět rovinnou vlnu. Pozoruhodné chování, které bylo historicky velmi důležité pro uznání vlnové povahy světla vykazuje nenulová intenzita za neprostupným terčíkem, kterou z (2.4)

dostaneme jako

$$\int_R^\infty = \int_0^\infty - \int_0^R = \frac{z \exp\left\{ik(R^2+z^2)^{1/2}\right\}}{(R^2+z^2)^{1/2}} . \quad (2.5)$$

### 3 Výpočet Fresnelova integrálu

Potřebujeme vypočítat integrál

$$F = \int_0^\infty \exp\{ix^2\} dx . \quad (3.1)$$

Cauchyova věta pro vhodnou křivku v komplexní rovině dává

$$\int_0^R \exp\{i\rho^2\} d\rho + \int_0^{\pi/4} \exp\{R^2(i \cos 2\theta - \sin 2\theta)\} d\theta + \exp\left\{i\frac{\pi}{4}\right\} \int_R^\infty \exp\{-\rho^2\} d\rho = 0 . \quad (3.2)$$

V limitě  $R \rightarrow \infty$  je

$$\int_0^\infty \exp\{i\rho^2\} d\rho = \exp\left\{i\frac{\pi}{4}\right\} \int_0^\infty \exp\{-\rho^2\} d\rho \quad (3.3)$$

Poissonův integrál se pocítá například jako

$$\begin{aligned} \int_0^\infty \exp\{-x^2\} dx &= \left[ \int_0^\infty \exp\{-x^2\} dx \int_0^\infty \exp\{-y^2\} dy \right]^{1/2} = \\ &= \left[ \frac{\pi}{2} \int_0^\infty r \exp\{-r^2\} dr \right]^{1/2} = \frac{\pi^{1/2}}{2} . \end{aligned} \quad (3.4)$$

Konečný výsledek je

$$F = \int_0^\infty \exp\{ix^2\} dx = \frac{1}{2} \left( \frac{\pi}{2} \right)^{1/2} (1+i) . \quad (3.5)$$

Komplexně sdružený výraz k (3.5) je

$$F^* = \int_0^\infty \exp\{-ix^2\} dx = \frac{1}{2} \left( \frac{\pi}{2} \right)^{1/2} (1-i) . \quad (3.6)$$

### 4 Změna fáze při doteku kaustiky (Guyův fázový posuv).

Uvažujme body  $Q$  vlnoplochy z (2.3)

$$\zeta = \frac{\xi^2}{2R_1} + \frac{\eta^2}{2R_2} \quad (4.1)$$

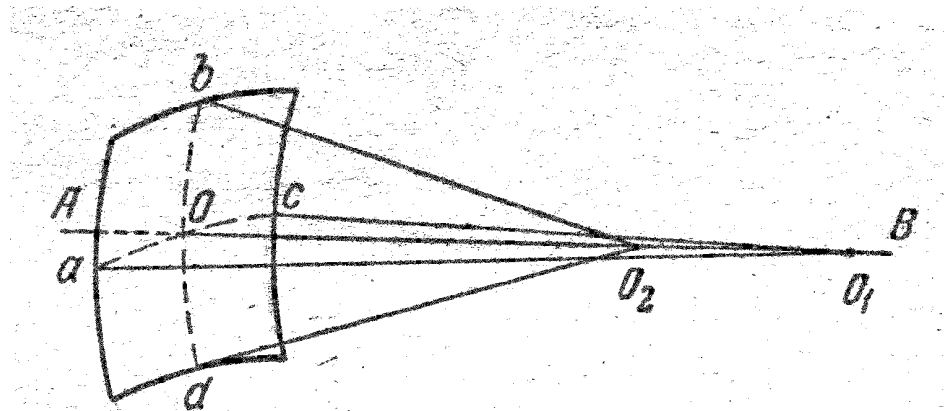
a bod  $P(0,0,z)$  na ose. Máme tak

$$R = \left[ \xi^2 + \eta^2 + \left( z - \frac{\xi^2}{2R_1} - \frac{\eta^2}{2R_2} \right)^2 \right]^{\frac{1}{2}} \approx z + \left( \frac{1}{z} - \frac{1}{R_1} \right) \frac{\xi^2}{2} + \left( \frac{1}{z} - \frac{1}{R_2} \right) \frac{\eta^2}{2} \quad . \quad (4.2)$$

Po dosazení do (2.3)

$$u(P) \approx \frac{k u(O)}{2\pi i z} \exp\{ikz\} \int_{-\infty}^{\infty} \exp\left\{i \frac{k}{2} \left(\frac{1}{z} - \frac{1}{R_1}\right) \xi^2\right\} d\xi \int_{-\infty}^{\infty} \exp\left\{i \frac{k}{2} \left(\frac{1}{z} - \frac{1}{R_2}\right) \eta^2\right\} d\eta \quad . \quad (4.3)$$

Podle obrázku dostáváme



Vlnoplocha s kružnicemi hlavních křivostí a paprsky.

$$0 < z < R_2 \Rightarrow \frac{1}{2i}(1+i)(1+i) = 1 \Rightarrow u(P) \approx u(0) \quad ,$$

$$R_2 < z < R_1 \Rightarrow \frac{1}{2i}(1+i)(1-i) = \frac{1}{i} \Rightarrow u(P) \approx u(0) \exp\left\{-i\frac{\pi}{2}\right\} \quad , \quad (4.4)$$

$$R_1 < z < \infty \Rightarrow \frac{1}{2i}(1-i)(1-i) = -1 \Rightarrow u(P) \approx u(0) \exp\{-i\pi\} \quad .$$

## 5 Účinný průřez a optický teorém

Rovinná vlna dopadající ve směru osy  $z$  je rozptýlena sféricky symetrickým potenciálem, takže se pak skládá z dopadající a rozptýlené vlny

$$\psi(\vec{r}, t) = \psi_0 \left[ \exp(i k z) + f(\theta) \frac{\exp(i k r)}{r} \right] \exp\left(-i \frac{E}{\hbar} t\right) . \quad (5.1)$$

Tok počítáme jako

$$\vec{j} = \frac{\hbar}{2 m i} (\psi^* \vec{\nabla} \psi - \psi \vec{\nabla} \psi^*) . \quad (5.2)$$

Tok v dopadající vlně je

$$\vec{j}_{in} = \frac{\hbar k}{m} |\psi_0|^2 \vec{e}_z . \quad (5.3)$$

Tok v rozptýlené vlně je (gradient ve sférických souřadnicích  $\vec{\nabla} = \vec{e}_r \partial/\partial r + \vec{e}_\theta/r \partial/\partial\theta + \vec{e}_\phi/(r \sin\theta) \partial/\partial\varphi$ )

$$\vec{j}_{sc} = \frac{\hbar k}{m} \frac{|f(\theta)|^2}{r^2} + O\left(\frac{1}{r^3}\right) . \quad (5.4)$$

Účinný průřez je definován pomocí vztahu

$$\lim_{r \rightarrow \infty} |\vec{j}_{sc}| r^2 d\Omega = |\vec{j}_{in}| d\sigma . \quad (5.5)$$

Na levé straně definice je tok v rozptýlené vlně do elementu prostorového úhlu  $d\Omega$  ve velké vzdálenosti od rozptylového centra. Na pravé straně pak odpovídající element plochy, který přinutí tok v dopadající vlně přejít do toku v rozptýlené vlně. Dosazením (5.3) a (5.4) do (5.5) dostáváme

$$d\sigma = |f(\theta)|^2 d\Omega . \quad (5.6)$$

Celkový účinný průřez je pak

$$\sigma = \int d\sigma = \int |f(\theta)|^2 d\Omega . \quad (5.7)$$

Pozoruhodný vztah, který spojuje celkový učinný průřez a imaginární část amplitudy rozptylu ve směru dopadající vlny se nazývá optický teorém:

$$\Im\{f(0)\} = \frac{k}{4\pi} \sigma , \quad (5.8)$$

Jednoduché odvození optického teorému pochází od van Hulsta. V dostatečné vzdálenosti za rozptylovým centrem je

$$\psi(\vec{r}) = \exp\{ikz\} + f(\theta) \frac{\exp\{ikr\}}{r} . \quad (5.9)$$

Budeme počítat tok ploškou poloměru  $R$ , kdy jsou splněny nerovnosti

$$\frac{R}{z} \ll 1 , \quad \frac{kR^2}{z} \ll 2\pi , \quad (5.10)$$

což znamená, že úhlová velikost plošky (viděno z rozptylového centra) je malá, ale ploška obsahuje mnoho Fresnelových zón. Potom (polární souřadnice)

$$|\psi(\rho, z)|^2 \approx 1 + 2 \Re \left\{ f(0) \frac{1}{z} \exp \left\{ i k \frac{\rho^2}{2z} \right\} \right\} \quad (5.11)$$

a tok procházející ploškou je

$$2\pi \int_0^R |\psi|^2 \rho d\rho \approx \pi R^2 - \frac{4\pi}{k} \Im \{ f(0) \} \quad . \quad (5.12)$$

Plocha je zmenšena o účinný průřez rozptylu.

## 6 Rozptyl v potenciálovém poli

Uvažujme o pohybu částice v potenciálovém poli. Pohyb volné částice je popsán Helmholtzovou rovnicí

$$\Delta \Psi^{(0)}(\vec{r}) + k^2 \Psi^{(0)}(\vec{r}) = 0 \quad , \quad k = \frac{p}{\hbar} = \frac{(2mE)^{1/2}}{\hbar} \quad . \quad (6.1)$$

Pohyb v potenciálovém poli potom stacionární Schrödingerovou rovnicí

$$\Delta \Psi(\vec{r}) + k^2 \Psi(\vec{r}) = \frac{2m}{\hbar^2} U(\vec{r}) \Psi(\vec{r}) \quad . \quad (6.2)$$

Řešení této rovnice můžeme napsat ve tvaru

$$\Psi(\vec{r}) = \Psi^{(0)}(\vec{r}) - \frac{2m}{\hbar^2} \int G(\vec{r} - \vec{r}_1) U(\vec{r}_1) \Psi(\vec{r}_1) d^s \vec{r}_1 \quad , \quad (6.3)$$

kde  $G$  je Greenova funkce Helmholtzovy rovnice

$$\begin{aligned} \Delta G(\vec{r} - \vec{r}_1) + k^2 G(\vec{r} - \vec{r}_1) &= -\delta^{(s)}(\vec{r} - \vec{r}_1) \quad , \\ G(\vec{r} - \vec{r}_1) &= \frac{1}{4\pi} \frac{\exp\{ik|\vec{r} - \vec{r}_1|\}}{|\vec{r} - \vec{r}_1|} \quad , \quad s = 3 \quad , \\ G(\vec{r} - \vec{r}_1) &= \frac{i}{4} H_0^{(1)}\{k|\vec{r} - \vec{r}_1|\} \quad , \quad s = 2 \quad , \\ G(\vec{r} - \vec{r}_1) &= \frac{i}{2k} \exp\{ik|\vec{r} - \vec{r}_1|\} \quad , \quad s = 1 \quad . \end{aligned} \quad (6.4)$$

Schrödingerovu rovnici (6.3) můžeme řešit iteračním postupem, tedy

$$\Psi^{(n+1)}(\vec{r}) = \Psi^{(0)}(\vec{r}) - \frac{2m}{\hbar^2} \int G(\vec{r} - \vec{r}_1) U(\vec{r}_1) \Psi^{(n)}(\vec{r}_1) d^s \vec{r}_1 \quad , \quad n = 0, 1, \dots \quad . \quad (6.5)$$

Zůstaneme-li pouze u základní iterace ( $n = 0$ ), nazývá se toto přibližné řešení pohybu v potenciálovém poli Bornova approximace.

Při studiu rozptylu předpokládáme  $\Psi^{(0)}(\vec{r})$  ve tvaru rovinné vlny a zajímáme se o vlnovou funkci

daleko od oblasti působení potenciálu, tedy pro Greenovu funkci klademe

$$\begin{aligned} G(\vec{r}, \vec{r}_1) &= \frac{\exp\{ikr\}}{4\pi r} \exp\{-ik\vec{r}_1 \cdot \vec{n}_f\} \quad , \quad s=3 \quad , \\ G(\vec{r}, \vec{r}_1) &= \frac{(1+i)\exp\{ikr\}}{4\sqrt{\pi kr}} \exp\{-ik\vec{r}_1 \cdot \vec{n}_f\} \quad , \quad s=2 \quad , \\ G(\vec{r}, \vec{r}_1) &= \frac{i\exp\{ikr\}}{2k} \exp\{-ik\vec{r}_1 \cdot \vec{n}_f\} \quad , \quad s=1 \quad . \end{aligned} \quad (6.6)$$

V exponentu jsme aproximovali

$$|\vec{r} - \vec{r}_1| = r \left( 1 - 2\vec{n}_f \cdot \frac{\vec{r}_1}{r} + \frac{\vec{r}_1^2}{r^2} \right)^{1/2} \approx r - \vec{n}_f \cdot \vec{r}_1 \quad , \quad (6.7)$$

přičemž jsem označili jako  $\vec{n}_f = \vec{r}/r$  jednotkový vektor ve směru pozorování. Dopadající rovinná vlna je pak

$$\Psi^{(0)}(\vec{r}) = \exp\{i\vec{k} \cdot \vec{r}\} = \exp\{ikr\vec{n}_i \cdot \vec{n}_f\} \quad , \quad (6.8)$$

s označením jednotkového vektoru ve směru dopadu  $\vec{n}_i = \vec{k}/k$ . Vlnová funkce pak je

$$\Psi(\vec{r}) = \exp\{ikr\vec{n}_i \cdot \vec{n}_f\} + \frac{2\pi}{k} \left( \frac{k}{2\pi r} \right)^{(s-1)/2} f(\vec{n}_i, \vec{n}_f) \exp\{ikr\} \quad , \quad (6.9)$$

kde  $f(\vec{n}_i, \vec{n}_f)$  je amplituda rozptylu

$$f(\vec{n}_i, \vec{n}_f) = \frac{m}{2\pi\hbar^2} \exp\left\{-\frac{i(s+1)\pi}{4}\right\} \int \exp\{-ik\vec{r}_1 \cdot \vec{n}_f\} U(\vec{r}_1) \Psi(\vec{r}_1) d^s \vec{r}_1 \quad . \quad (6.10)$$

Amplituda rozptylu v Bornově approximaci je

$$f_B(\vec{n}_i, \vec{n}_f) = \frac{m}{2\pi\hbar^2} \exp\left\{-\frac{i(s+1)\pi}{4}\right\} \int \exp\{ik\vec{r}_1 \cdot (\vec{n}_i - \vec{n}_f)\} U(\vec{r}_1) d^s \vec{r}_1 \quad . \quad (6.11)$$

V trojrozměrném případě dostáváme pro amplitudu rozptylu dopředu ( $\vec{n}_i = \vec{n}_f$ ) výraz

$$f_B(\theta=0) = -\frac{m}{2\pi\hbar^2} \int U(\vec{r}_1) d^3 \vec{r}_1 \quad . \quad (6.12)$$

To je reálná veličina, což je v rozporu s optickým teorémem a omezuje to platnost jinak velmi užitečné approximace na případ velmi slabého rozptylu. Také v dalším se omezíme na trojrozměrný případ. Podíl pravděpodobnosti toho, že rozptylená částice projde za jednotku času plošným elementem  $dS = r^2 d\Omega$  a hustoty toku častic v dopadajícím svazku nazveme diferenciálním účinným průřezem  $d\sigma$

$$d\sigma = \left| f(\vec{n}_i, \vec{n}_f) \right|^2 d\Omega_f . \quad (6.13)$$

Vytvořme lineární kombinaci (klubko) dopadajících rovinných vln. Metoda asymptotického rozvoje vede pak k přibližnému vyjádření člene s rychle oscilujícím integrandem

$$\begin{aligned} \Psi(\vec{r}) &= \int F(\vec{n}) \exp\{ikr \vec{n} \cdot \vec{n}_f\} d\Omega + \frac{\exp\{ikr\}}{r} \int F(\vec{n}) f(\vec{n}, \vec{n}_f) d\Omega = \\ &= 2\pi i F(-\vec{n}_f) \frac{\exp\{-ikr\}}{kr} - 2\pi i F(\vec{n}_f) \frac{\exp\{ikr\}}{kr} + \frac{\exp\{ikr\}}{r} \int F(\vec{n}) f(\vec{n}, \vec{n}_f) d\Omega . \end{aligned} \quad (6.14)$$

Výraz přepíšeme na

$$\begin{aligned} \Psi(\vec{r}) &= \frac{\exp\{-ikr\}}{kr} F(-\vec{n}_f) - \frac{\exp\{ikr\}}{kr} \hat{S} F(\vec{n}_f) , \\ \hat{S} &= \hat{1} + 2ik\hat{f} , \quad \hat{f} F(\vec{n}_f) = \frac{1}{4\pi} \int F(\vec{n}) f(\vec{n}, \vec{n}_f) d\Omega . \end{aligned} \quad (6.15)$$

Poněvadž tok ve sbíhavé vlně musí být roven toku v rozbíhavé vlně, dostáváme pro operátory  $\hat{S}$  a  $\hat{f}$  podmínky

$$\hat{S} \hat{S}^+ = \hat{1} , \quad \hat{f} - \hat{f}^+ = 2ik\hat{f}\hat{f}^+ . \quad (6.16)$$

Rozepsáno v maticovém zápisu

$$f(\vec{n}_i, \vec{n}_f) - f^*(\vec{n}_f, \vec{n}_i) = \frac{ik}{2\pi} \int f(\vec{n}_i, \vec{n}_l) f^*(\vec{n}_f, \vec{n}_l) d\Omega_l . \quad (6.17)$$

Ve vztahu (6.17) jsme použili vyjádření

$$\langle \vec{n}_a | \hat{f}^+ | \vec{n}_b \rangle = \langle \vec{n}_b | \hat{f} | \vec{n}_a \rangle^* , \quad \frac{1}{4\pi} \int |\vec{n}\rangle d\Omega \langle \vec{n}| = \hat{1} . \quad (6.18)$$

Pro imaginární část amplitudy rozptylu ve směru dopadajícího svazku dostáváme optický teorém

$$\Im\{f(\vec{n}_i, \vec{n}_i)\} = \frac{k}{4\pi} \sigma , \quad \sigma = \int |f(\vec{n}_i, \vec{n})|^2 d\Omega . \quad (6.19)$$

Vzhledem k symetrii Schrödingerovy rovnice vůči časové inverzi musí být řešením také komplexně sdružená funkce

$$\begin{aligned} \Psi^*(\vec{r}) &= \frac{\exp\{ikr\}}{kr} F^*(-\vec{n}_f) - \frac{\exp\{-ikr\}}{kr} \hat{S}^* F^*(\vec{n}_f) = \\ &= \frac{\exp\{-ikr\}}{kr} \Phi(-\vec{n}_f) - \frac{\exp\{ikr\}}{kr} \hat{P} \hat{S}^T \hat{P} \Phi(\vec{n}_f) , \end{aligned} \quad (6.20)$$

kde

$$\Phi(-\vec{n}) = -\hat{S}^* F^*(\vec{n}) , \quad F(-\vec{n}) = -\hat{P} F(\vec{n}) . \quad (6.21)$$

Porovnáním (6.15) a (6.20) dostáváme relaci

$$\hat{P} \hat{S}^T \hat{P} = \hat{S} \quad , \quad \hat{P} \hat{f}^T \hat{P} = \hat{f} \quad , \quad f(\vec{n}_i, \vec{n}_f) = f(-\vec{n}_f, -\vec{n}_i) . \quad (6.22)$$

## 7 Operátor Greenovy funkce.

Operátor Greenovy funkce definujeme jako inversní operátor k operátoru vlastní hodnoty hamiltoniánu

$$\lim_{\epsilon \rightarrow 0} (E - \hat{H} + i\epsilon) \hat{G} = \hat{1} \quad , \quad \hat{G} = \lim_{\epsilon \rightarrow 0} \frac{1}{E - \hat{H} + i\epsilon} . \quad (7.1)$$

Často budeme potřebovat větu: Bud'  $f(z)$  funkce analytická pro  $\Im\{z\} \geq 0$  s vyjímkou konečného počtu pólů,  $f(z) \rightarrow 0$  pro  $|z| \rightarrow \infty$  rovnoměrně. Potom pro hlavní hodnotu  $\oint$  nevlastního integrálu dostáváme

$$\oint \left\{ \int_{-\infty}^{\infty} f(x) dx \right\} = 2\pi i \sum R + \pi i \sum R_0 \quad , \quad (7.2)$$

kde  $R$  jsou residua v pólech v horní polorovině,  $R_0$  residua v pólech na reálné ose (např. Whittaker a Watson, A Course of Modern Analysis). Důsledkem je, že pro funkci analytickou v horní polorovině (včetně reálné osy) nebo dolní polorovině (včetně reálné osy) můžeme psát (integrál vlevo můžeme doplněním křivky polokružnicí se středem v počátku a s poloměrem jdoucím k nekonečnu převést na sumu residuí funkce  $f$  v horní nebo dolní polorovině, druhý výraz vpravo je záporně vzáte residuum (pro funkci analytickou v horní polorovině) nebo residuum (pro funkci analytickou v dolní polorovině) v pólu na reálné ose

$$\begin{aligned} \lim_{\epsilon \rightarrow 0} \int_{-\infty}^{\infty} \frac{f(x)}{x - x_0 \pm i\epsilon} dx &= \oint \left\{ \int_{-\infty}^{\infty} \frac{f(x)}{x - x_0} dx \right\} \pm i\pi f(x_0) \quad , \\ \lim_{\epsilon \rightarrow 0} \frac{1}{x - x_0 \pm i\epsilon} &= \oint \left\{ \frac{1}{x - x_0} \right\} \pm i\pi \delta(x - x_0) \quad . \end{aligned} \quad (7.3)$$

Specielně pro exponenciální funkci máme

$$\begin{aligned} \oint \left\{ \int_{-\infty}^{\infty} \frac{\exp\{ixt\}}{x - x_0} dx \right\} &= i\pi \exp\{ix_0 t\} \quad , \quad t > 0 \quad , \\ \oint \left\{ \int_{-\infty}^{\infty} \frac{\exp\{ixt\}}{x - x_0} dx \right\} &= -i\pi \exp\{ix_0 t\} \quad , \quad t < 0 \quad . \end{aligned} \quad (7.4)$$

Pro hamiltonián složený ze dvou částí  $\hat{H} = \hat{H}_0 + \hat{V}$ ,  $\hat{H}_0$  je základní část (neporušený hamiltonián),  $\hat{V}$  je interakční část (porucha), můžeme hledat řešení rovnice pro Greenovu funkci (7.1) pomocí vztahů

$$\begin{aligned} \lim_{\varepsilon \rightarrow 0} \frac{1}{E - \hat{H}_0 + i\varepsilon} + \lim_{\varepsilon \rightarrow 0} \frac{1}{E - \hat{H}_0 + i\varepsilon} \hat{V} \lim_{\varepsilon \rightarrow 0} \frac{1}{E - \hat{H}_0 - \hat{V} + i\varepsilon} = \\ \lim_{\varepsilon \rightarrow 0} \frac{1}{E - \hat{H}_0 + i\varepsilon} \left[ \hat{1} + \hat{V} \lim_{\varepsilon \rightarrow 0} \frac{1}{E - \hat{H}_0 - \hat{V} + i\varepsilon} \right] = \\ \lim_{\varepsilon \rightarrow 0} \frac{1}{E - \hat{H}_0 + i\varepsilon} \left[ \lim_{\varepsilon \rightarrow 0} (E - \hat{H}_0 - \hat{V} + i\varepsilon) + \hat{V} \right] \lim_{\varepsilon \rightarrow 0} \frac{1}{E - \hat{H}_0 - \hat{V} + i\varepsilon} = \\ \lim_{\varepsilon \rightarrow 0} \frac{1}{E - \hat{H}_0 - \hat{V} + i\varepsilon} , \end{aligned} \quad (7.5)$$

a tedy

$$\hat{G} = \hat{G}_0 + \hat{G}_0 \hat{V} \hat{G} \quad , \quad \hat{G} = \hat{G}_0 + \hat{G}_0 \hat{V} \hat{G}_0 + \hat{G}_0 \hat{V} \hat{G}_0 \hat{V} \hat{G}_0 + \dots \quad (7.6)$$

Pro vlnovou funkci dostáváme

$$\begin{aligned} |\Psi\rangle = \frac{1}{\hat{1} - \hat{G}_0 \hat{V}} |\Psi^{(0)}\rangle = \left[ \hat{1} + \hat{G}_0 \hat{V} + \hat{G}_0 \hat{V} \hat{G}_0 \hat{V} + \dots \right] |\Psi^{(0)}\rangle = \\ \left[ \hat{1} + (\hat{G}_0 + \hat{G}_0 \hat{V} \hat{G}_0 + \dots) \hat{V} \right] |\Psi^{(0)}\rangle = \left[ \hat{1} + \hat{G} \hat{V} \right] |\Psi^{(0)}\rangle . \end{aligned} \quad (7.7)$$

Zapíšeme-li Hamiltonův operátor  $\hat{H}$  pomocí vlastních vektorů  $|\Psi_m\rangle$  a Hamiltonův operátor  $\hat{H}_0$  pomocí vlastních vektorů  $|\Phi_m\rangle$

$$\hat{H} = \sum_m E_m |\Psi_m\rangle \langle \Psi_m| \quad , \quad \hat{H}_0 = \sum_m E_m^{(0)} |\Phi_m\rangle \langle \Phi_m| \quad , \quad (7.8)$$

můžeme pro operátory Greenovy funkce psát

$$\hat{G} = \lim_{\varepsilon \rightarrow 0} \sum_m \frac{|\Psi_m\rangle \langle \Psi_m|}{E - E_m + i\varepsilon} \quad , \quad \hat{G}_0 = \lim_{\varepsilon \rightarrow 0} \sum_m \frac{|\Phi_m\rangle \langle \Phi_m|}{E - E_m^{(0)} + i\varepsilon} . \quad (7.9)$$

Pro stopu operátoru Greenovy funkce máme

$$\text{Tr}\{\hat{G}\} = \lim_{\varepsilon \rightarrow 0} \sum_m \frac{1}{E - E_m + i\varepsilon} . \quad (7.10)$$

Greenova funkce v souřadnicové representaci je

$$\begin{aligned} \langle \vec{r} | \hat{G} | \vec{r}' \rangle \equiv G(\vec{r}, \vec{r}' | E) = \lim_{\varepsilon \rightarrow 0} \sum_m \frac{\Psi_m^*(\vec{r}') \Psi_m(\vec{r})}{E - E_m + i\varepsilon} \quad , \\ \int G(\vec{r}, \vec{r} | E) d^s \vec{r} = \lim_{\varepsilon \rightarrow 0} \sum_m \frac{1}{E - E_m + i\varepsilon} . \end{aligned} \quad (7.11)$$

Pro kvasikontinuální energiové spektrum přejdeme od sumace k integraci

$$\sum_m f(E_m) \rightarrow \int f(x) \rho(x) dx , \quad (7.12)$$

takže můžeme psát

$$\begin{aligned} \int G(\vec{r}, \vec{r}|E) d^s \vec{r} &= \lim_{\varepsilon \rightarrow 0} \int \frac{\rho(x)}{E-x+i\varepsilon} dx , \\ \rho(E) &= -\frac{1}{\pi} \Im \left\{ \int G(\vec{r}, \vec{r}|E) d^s \vec{r} \right\} . \end{aligned} \quad (7.13)$$

Pro volné částice platí

$$\begin{aligned} E_{\vec{k}} &= \frac{\hbar^2 k^2}{2m} , \quad \Psi_{\vec{k}}(\vec{r}) = \frac{1}{\sqrt{\Omega}} \exp\{i\vec{k} \cdot \vec{r}\} , \quad \rho(E_{\vec{k}}) dE_{\vec{k}} = \frac{\Omega}{(2\pi)^s} d^s \vec{k} , \\ G(\vec{r}, \vec{r}'|E) &= \frac{2m}{(2\pi)^s} \lim_{\varepsilon \rightarrow 0} \int \frac{\exp\{i\vec{k} \cdot (\vec{r}-\vec{r}')\}}{2mE-\hbar^2 \vec{k}^2 + i\varepsilon} d^s \vec{k} . \end{aligned} \quad (7.14)$$

Greenova funkce pro časově závislou Schrödingerovu rovnici (přitom  $\hat{H}$  explicitně nezávisí na čase) je

$$\begin{aligned} G(\vec{r}, t | \vec{r}', t') &= \int_{-\infty}^{\infty} \frac{dE}{2\pi\hbar} \exp\left\{-\frac{i}{\hbar} E(t-t')\right\} \lim_{\varepsilon \rightarrow 0} \sum_m \frac{\Psi_m^*(\vec{r}') \Psi_m(\vec{r})}{E-E_m+i\varepsilon} , \\ G(\vec{r}, t | \vec{r}', t') &= \begin{cases} \frac{i}{\hbar} \sum_m \Psi_m^*(\vec{r}') \Psi_m(\vec{r}) \exp\left\{-\frac{i}{\hbar} E_m(t-t')\right\} & t \geq t' \\ 0 & t < t' \end{cases} . \end{aligned} \quad (7.15)$$

Pro volné částice je

$$G(\vec{r}, t | \vec{r}', t') = \begin{cases} \left[ \frac{m}{2\pi i \hbar (t-t')} \right]^{s/2} \exp\left\{i \frac{m(\vec{r}-\vec{r}')^2}{2\hbar(t-t')} \right\} & t \geq t' \\ 0 & t < t' \end{cases} . \quad (7.16)$$

## 8 Užitečné zobecněné funkce

Působení zobecněných funkcí na prostoru „hodných“ funkcí jedné proměnné  $\Phi$  je zobrazení těchto funkcí do prostoru komplexních (reálných) čísel

$$F: \Phi \mapsto \langle F, \varphi \rangle \in \mathbb{C} . \quad (8.1)$$

Jedna ze zobecněných funkcí má původ ve výpočtu Cauchyho vlastní hodnoty integrálu funkce s jednoduchým pólem na reálné ose. Obecně je Cauchyho vlastní hodnota definována jako

$$\text{Vp} \int_{-\infty}^{\infty} dx f(x) = \lim_{\varepsilon \rightarrow 0} \left\{ \int_{-\infty}^{-\varepsilon} dx f(x) + \int_{\varepsilon}^{\infty} dx f(x) \right\} . \quad (8.2)$$

Definujeme zobecněnou funkci  $P(1/x)$  jako

$$P \frac{1}{x}: \Phi \vdash \varphi(x) \rightarrow \left\langle P \frac{1}{x}, \varphi(x) \right\rangle \equiv \text{Vp} \int_{-\infty}^{\infty} dx \frac{\varphi(x)}{x} . \quad (8.3)$$

Dále definujeme Diracovu delta (zobecněnou) funkci

$$\delta(x): \Phi \vdash \varphi(x) \rightarrow \langle \delta(x), \varphi(x) \rangle \equiv \varphi(0) . \quad (8.4)$$

Poslední vztah (8.4) je zapisován také jako

$$\int_{-\infty}^{\infty} dx \delta(x) \varphi(x) = \varphi(0) . \quad (8.5)$$

Pomocí zobecněných funkcí (8.3) a (8.4) můžeme vyjádřit jiné důležité zobecněné funkce, tj.

$$\frac{1}{x+i\varepsilon}: \Phi \vdash \varphi(x) \rightarrow \left\langle \frac{1}{x+i\varepsilon}, \varphi(x) \right\rangle \equiv \lim_{\varepsilon \rightarrow 0} \int_{-\infty}^{\infty} dx \frac{\varphi(x)}{x+i\varepsilon} \quad (8.6)$$

a

$$\frac{1}{x-i\varepsilon}: \Phi \vdash \varphi(x) \rightarrow \left\langle \frac{1}{x-i\varepsilon}, \varphi(x) \right\rangle \equiv \lim_{\varepsilon \rightarrow 0} \int_{-\infty}^{\infty} dx \frac{\varphi(x)}{x-i\varepsilon} . \quad (8.7)$$

Platí (Sochockého vztahy)

$$\frac{1}{x+i\varepsilon} = P \frac{1}{x} - i\pi \delta(x) , \quad (8.8)$$

a

$$\frac{1}{x-i\varepsilon} = P \frac{1}{x} + i\pi \delta(x) . \quad (8.9)$$

Důkaz není obtížný. Vezměme nejprve

$$\begin{aligned} & \left\langle \frac{1}{2} \left( \frac{1}{x-i\varepsilon} - \frac{1}{x+i\varepsilon} \right), \varphi(x) \right\rangle = \\ & i \lim_{\varepsilon \rightarrow 0} \varepsilon \int_{-\infty}^{\infty} dx \frac{\varphi(x)}{x^2 + \varepsilon^2} = i \lim_{\varepsilon \rightarrow 0} \varepsilon \int_{-\infty}^{\infty} dx \frac{\varphi(0) + x\varphi'(0) + \dots}{x^2 + \varepsilon^2} = i\pi \varphi(0) . \end{aligned} \quad (8.10)$$

Dále pak

$$\begin{aligned} \left\langle \frac{1}{2} \left( \frac{1}{x-i\varepsilon} + \frac{1}{x+i\varepsilon} \right), \varphi(x) \right\rangle &= \lim_{\varepsilon \rightarrow 0} \int_{-\infty}^{\infty} dx \frac{x\varphi(x)}{x^2 + \varepsilon^2} = \\ \operatorname{PV} \int_{-\infty}^{\infty} dx \frac{\varphi(x)}{x} + \lim_{\varepsilon \rightarrow 0} \int_{-\varepsilon}^{\varepsilon} dx x \frac{\varphi(0) + x\varphi'(0) + \dots}{x^2 + \varepsilon^2} &= \operatorname{PV} \int_{-\infty}^{\infty} dx \frac{\varphi(x)}{x} . \end{aligned} \quad (8.11)$$

Odečtením a přičtením (8.10) k (8.11) dostáváme Sochockého vztahy. Podívejme se teď na integrál

$$I_+ = \int_{-\infty}^{\infty} dx \frac{\varphi(x)}{x - x_0 + i\varepsilon} \quad (8.12)$$

z pohledu teorie funkce komplexní proměnné. Je-li funkce  $\varphi(x)$  analytická v horní (dolní) polorovině, můžeme doplněním integrálu po reálné ose integrálem po polokružnici v horní (dolní) polorovině se středem v počátku a s poloměrem jdoucím do nekonečna použít Cauchyovy věty. Dostáváme pak (v prvním případě má křivkový integrál souhlasnou orientaci s reálnou osou, v druhém opačnou)

$$I_+ = \int_{-\infty}^{\infty} dx \frac{\varphi(x)}{x - x_0 + i\varepsilon} = \begin{cases} 0 \\ -2\pi i \varphi(x_0) \end{cases} . \quad (8.13)$$

Obdobně dostaneme

$$I_- = \int_{-\infty}^{\infty} dx \frac{\varphi(x)}{x - x_0 - i\varepsilon} = \begin{cases} 2\pi i \varphi(x_0) \\ 0 \end{cases} . \quad (8.14)$$

## 9 Užitečné ortonormální soustavy funkcí

### 9.1 Legendreovy polynomy

Legendreovy polynomy  $P_l(\cos\theta)$ ,  $l=0,1,\dots$  jsou definovány jako

$$P_l(\cos\theta) = \frac{1}{2^l l!} \frac{d^l}{(d\cos\theta)^l} (\cos^2\theta - 1)^l . \quad (9.1)$$

Jsou řešením diferenciální rovnice

$$\frac{1}{\sin\theta} \frac{d}{d\theta} \left( \sin\theta \frac{dP_l(\cos\theta)}{d\theta} \right) + l(l+1)P_l(\cos\theta) = 0 . \quad (9.2)$$

Na intervalu  $(-1,1)$  tvoří polynomy  $P_l(x)$  ortogonální systém, tj.

$$\int_{-1}^1 P_l(x) P_{l'}(x) dx = \frac{2}{2l+1} \delta_{ll'} . \quad (9.3)$$

Přidružené Legendreovy polynomy  $P_l^m(\cos\theta)$ ,  $m=0,1,\dots,l$  jsou definovány jako

$$P_l^m(\cos\theta) = \sin^m \theta \frac{d^m P_l(\cos\theta)}{(d\cos\theta)^m} = \frac{1}{2^l l!} \sin^m \theta \frac{d^{l+m}}{(d\cos\theta)^{l+m}} (\cos^2 \theta - 1)^l \quad (9.4)$$

a jsou řešením diferenciální rovnice

$$\frac{1}{\sin\theta} \frac{d}{d\theta} \left( \sin\theta \frac{d P_l^m(\cos\theta)}{d\theta} \right) + \left[ l(l+1) - \frac{m^2}{\sin^2\theta} \right] P_l^m(\cos\theta) = 0 . \quad (9.5)$$

Platí

$$\int_{-1}^1 P_l^m(x) P_{l'}^m(x) dx = \frac{2}{2l+1} \frac{(l+m)!}{(l-m)!} \delta_{ll'} . \quad (9.6)$$

Normované funkce jsou (a zde se mohou lišit různí autoři ve fázovém faktoru, zde zvolený je podle Landaua a Lifšice)

$$\begin{aligned} \Theta_l^m(\cos\theta) &= (-1)^m i^l \left[ \frac{2l+1}{2} \frac{(l-m)!}{(l+m)!} \right] P_l^m(\cos\theta) , \quad m=0,1,\dots,l \\ \Theta_l^m(\cos\theta) &= i^l \left[ \frac{2l+1}{2} \frac{(l-|m|)!}{(l+|m|)!} \right] P_l^{|m|}(\cos\theta) , \quad m=-l,-l+1,\dots,-1 \end{aligned} \quad (9.7)$$

Přidáme-li ještě ortonormální soustavu na intervalu  $(0, 2\pi)$

$$\Phi_m(\varphi) = \frac{1}{(2\pi)^{1/2}} \exp\{im\varphi\} , \quad (9.8)$$

dostáváme ortonormální systém sférických funkcí

$$Y_{lm}(\theta, \varphi) = (-1)^{m+|m|} i^l \left[ \frac{2l+1}{4\pi} \frac{(l-|m|)!}{(l+|m|)!} \right] P_l^{|m|}(\cos\theta) \exp\{im\varphi\} , \quad (9.9)$$

relace ortonormality jsou

$$\int_0^{2\pi} \int_0^\pi \left( Y_{l'm'}(\theta, \varphi) \right)^* Y_{lm}(\theta, \varphi) \sin\theta d\theta d\varphi = \delta_{ll'} \delta_{m'm} . \quad (9.10)$$

Zjevně platí

$$\left( Y_{lm}(\theta, \varphi) \right)^* = (-1)^{l-m} Y_{l,-m}(\theta, \varphi) . \quad (9.11)$$

Sférické funkce nejnižších řádů jsou

$$\begin{aligned} Y_0^0 &= \frac{1}{(4\pi)^{1/2}} , \quad Y_1^0 = i \left( \frac{3}{4\pi} \right)^{1/2} \cos \theta , \quad Y_1^{\pm 1} = \mp i \left( \frac{3}{8\pi} \right)^{1/2} \sin \theta \exp \{ \pm i \varphi \} , \\ Y_2^0 &= \left( \frac{5}{16\pi} \right)^{1/2} (1 - 3 \cos^2 \theta) , \\ Y_2^{\pm 1} &= \pm \left( \frac{15}{8\pi} \right)^{1/2} \cos \theta \sin \theta \exp \{ \pm i \varphi \} , \quad Y_2^{\pm 2} = - \left( \frac{15}{32\pi} \right)^{1/2} \sin^2 \theta \exp \{ \pm 2i \varphi \} . \end{aligned} \quad (9.12)$$

Označíme-li  $\vec{n}$  jednotkový vektor charakterizovaný azimutálním úhlem  $\theta$  a polárním úhlem  $\varphi$ , můžeme značit  $Y_{lm}(\theta, \varphi) \equiv Y_{lm}(\vec{n})$ . Řada vztahů vypadá jednodušeji, užijeme-li identity

$$P_l(\cos \omega) = \frac{4\pi}{2l+1} \sum_{m=-l}^l \left( Y_{lm}(\Theta, \Phi) \right)^* Y_{lm}(\theta, \varphi) , \quad (9.13)$$

kde  $\cos \omega = \cos \Theta \cos \theta + \sin \Theta \sin \theta \cos(\Phi - \varphi)$ , nebo ve značení pomocí jednotkových vektorů

$$P_l(\vec{n}' \cdot \vec{n}) = \frac{4\pi}{2l+1} \sum_{m=-l}^l \left( Y_{lm}(\vec{n}') \right)^* Y_{lm}(\vec{n}) . \quad (9.14)$$

## 9.2 Sférické Besselovy funkce

Sférické Besselovy funkce  $j_l(z)$  a  $n_l(z)$  nebo  $h_l^{(+)}(z)$  a  $h_l^{(-)}(z)$  jsou řešením rovnice

$$f''(z) + \frac{2}{z} f'(z) + \left[ 1 - \frac{l(l+1)}{z^2} \right] f(z) = 0 . \quad (9.15)$$

Máme

$$\begin{aligned} j_l(z) &= \left( \frac{\pi}{2z} \right)^{1/2} J_{l+1/2}(z) , \quad n_l(z) = \left( \frac{\pi}{2z} \right)^{1/2} N_{l+1/2}(z) , \\ h_l^{(+)}(z) &= -n_l(z) + i j_l(z) = i \left( \frac{\pi}{2z} \right)^{1/2} H_{l+1/2}^{(1)}(z) , \\ h_l^{(-)}(z) &= -n_l(z) - i j_l(z) = -i \left( \frac{\pi}{2z} \right)^{1/2} H_{l+1/2}^{(2)}(z) . \end{aligned} \quad (9.16)$$

Kromě obvyklého vyjádření pomocí řad je možné zapsat sférické Besselovy funkce jako

$$j_l(z) = (-1)^l z^l \left( \frac{1}{z} \frac{d}{dz} \right)^l \frac{\sin z}{z} , \quad n_l(z) = (-1)^{l+1} z^l \left( \frac{1}{z} \frac{d}{dz} \right)^l \frac{\cos z}{z} . \quad (9.17)$$

Sférické Besselovy funkce řádu 0, 1 a 2 jsou

$$\begin{aligned} j_0(z) &= \frac{\sin z}{z} , \quad j_1(z) = \frac{\sin z}{z^2} - \frac{\cos z}{z} , \quad j_2(z) = \left( \frac{3}{z^3} - \frac{1}{z} \right) \sin z - \frac{3 \cos z}{z^2} , \\ n_0(z) &= -\frac{\cos z}{z} , \quad n_1(z) = -\frac{\cos z}{z^2} - \frac{\sin z}{z} , \quad n_2(z) = -\left( \frac{3}{z^3} - \frac{1}{z} \right) \cos z - \frac{3 \sin z}{z^2} . \end{aligned} \quad (9.18)$$

Asymptotické vyjádření je

$$\begin{aligned} j_l(z) &\xrightarrow[z \rightarrow \infty]{} \frac{1}{z} \sin\left(z - l \frac{\pi}{2}\right) , \quad n_l(z) \xrightarrow[z \rightarrow \infty]{} -\frac{1}{z} \cos\left(z - l \frac{\pi}{2}\right) , \\ h_l^{(+)}(z) &\xrightarrow[z \rightarrow \infty]{} \frac{1}{z} \exp\left\{i\left(z - l \frac{\pi}{2}\right)\right\} , \quad h_l^{(-)}(z) \xrightarrow[z \rightarrow \infty]{} \frac{1}{z} \exp\left\{-i\left(z - l \frac{\pi}{2}\right)\right\} . \end{aligned} \quad (9.19)$$

Pro hodnoty argumentu blízké nule je

$$\begin{aligned} j_l(z) &\xrightarrow[z \rightarrow 0]{} \frac{z^l}{(2l+1)!!} , \quad n_l(z) \xrightarrow[z \rightarrow 0]{} -\frac{(2l-1)!!}{z^{l+1}} \quad l = 0, 1, 2, \dots , \\ (2l+1)!! &= (2l+1) \cdot (2l-1) \dots 3 \cdot 1 . \end{aligned} \quad (9.20)$$

Speciálně

$$j_0(z) \xrightarrow[z \rightarrow 0]{} 1 , \quad n_0(z) \xrightarrow[z \rightarrow 0]{} -\frac{1}{z} . \quad (9.21)$$

Pro sférické Besselovy funkce platí relace ortogonality

$$\int_0^\infty j_l(p' r) j_l(pr) r^2 dr = \frac{\pi}{2 p^2} \delta(p' - p) = \frac{\pi}{2 m p} \delta(E' - E) . \quad (9.22)$$

## 10 Exaktní teorie rozptylu

Hamiltonián je na čase nezávislý a skládá se z hamiltoniánu volné částice a interakčního potenciálu

$$\hat{H} = \hat{H}_0 + \hat{V} . \quad (10.1)$$

Přesto má rozptylová úloha charakter časově závislé úlohy. Je to dáno předpokladem, že pro  $t \rightarrow -\infty$  je stav částice takový, že lze působení interakčního potenciálu zanedbat. Totéž předpokládáme o situaci v časech, kdy  $t \rightarrow \infty$ . Stav částice v  $t=0$  označíme  $|\psi\rangle$ , stav volné částice v  $t=0$  označíme  $|\phi\rangle$ , takže máme

$$|\psi(t)\rangle = \exp\{-i \hat{H} t\} |\psi\rangle \quad (10.2)$$

a

$$|\phi(t)\rangle = \exp\{-i\hat{H}_0 t\}|\phi\rangle . \quad (10.3)$$

Hledáme takové řešení rozptylové úlohy, které se bude asymptoticky blížit nějakým řešením pro volnou částici, tj.

$$\lim_{t \rightarrow -\infty} \left\| \exp\{-i\hat{H} t\}|\psi\rangle - \exp\{-i\hat{H}_0 t\}|\phi_-\rangle \right\| = 0 \quad (10.4)$$

pro  $t \rightarrow -\infty$  a

$$\lim_{t \rightarrow \infty} \left\| \exp\{-i\hat{H} t\}|\psi\rangle - \exp\{-i\hat{H}_0 t\}|\phi_+\rangle \right\| = 0 \quad (10.5)$$

$t \rightarrow \infty$ . To uděláme ve dvou krocích: 1) pro nějaký zadaný stav  $|\phi_-\rangle \in H$  sestrojíme  $|\psi\rangle$  tak, aby byl splněn vztah (10.4) a 2) pro takto získané  $|\psi\rangle$  sestrojíme  $|\phi_+\rangle \in H$  tak, že bude splněn vztah (10.5). Pro experiment je podstatný vztah  $|\phi_+\rangle$  k  $|\phi_-\rangle$ . Zajímá nás tedy existence unitárního operátoru

$$|\phi_+\rangle = \hat{S}|\phi_-\rangle . \quad (10.6)$$

Začněme se zobecněním (10.4) a (10.5). Je možné k libovolným stavům  $|\phi_+\rangle \in H$  najít stav  $|\psi\rangle$  takový, aby (10.4) a (10.5) byly splněny? Přepišme tyto vztahy (operátor  $\exp\{-i\hat{H} t\}$  je unitární) na

$$\lim_{t \rightarrow \mp\infty} \left\| |\psi\rangle - \exp\{i\hat{H} t\} \exp\{-i\hat{H}_0 t\} |\phi_\pm\rangle \right\| = 0 . \quad (10.7)$$

Jde tedy o podmítku existence operátorů

$$\hat{U}_\pm = \lim_{t \rightarrow \pm\infty} \exp\{i\hat{H} t\} \exp\{-i\hat{H}_0 t\} . \quad (10.8)$$

Uvažujme operátor

$$\hat{U}(t) = \exp\{i\hat{H} t\} \exp\{-i\hat{H}_0 t\} . \quad (10.9)$$

Platí pro něj rovnice

$$\frac{d\hat{U}(t)}{dt} = i \exp\{i\hat{H} t\} (\hat{H} - \hat{H}_0) \exp\{-i\hat{H}_0 t\} = i \exp\{i\hat{H} t\} \hat{V} \exp\{-i\hat{H}_0 t\} \quad (10.10)$$

s počáteční podmínkou  $\hat{U}(0) = \hat{1}$ . Řešením je

$$\hat{U}(t) = \hat{1} + i \int_0^t \exp\{i\hat{H} t\} \hat{V} \exp\{-i\hat{H}_0 t\} dt . \quad (10.11)$$

Hledané operátory pak jsou

$$\hat{U}_\pm = \hat{1} + i \int_0^{\pm\infty} \exp\{i \hat{H} t\} \hat{V} \exp\{-i \hat{H}_0 t\} dt \quad . \quad (10.12)$$

Postačující podmínkou existence  $\hat{U}_\pm$  je existence integrálů (opět využíváme toho, že operátor  $\exp\{-i \hat{H} t\}$  je unitární)

$$\int_0^{\pm\infty} \left\| \hat{V} \exp\{-i \hat{H}_0 t\} |\phi\rangle \right\| , \quad |\phi\rangle \in H \quad . \quad (10.13)$$

V souřadnicové representaci máme pro  $\phi(\vec{x}, t) = \exp\{-i \hat{H}_0 t\} \phi(\vec{x})$

$$\phi(\vec{x}, t) = \frac{1}{(2\pi)^{3/2}} \int \phi(\vec{k}) \exp\left\{i\left(\vec{k} \cdot \vec{x} - \frac{1}{2}k^2 t\right)\right\} d^3 \vec{k} \quad . \quad (10.14)$$

Pro odhad budeme potřebovat oba případy přibližného výpočtu integrálu metodou stacionární fáze. Mějme

$$I = \int_a^b g(x) \exp\{i \lambda f(x)\} dx , \quad (10.15)$$

přitom  $\lambda$  bude velké číslo. Pokud je na integračním intervalu  $f'(x) \neq 0$ , počítáme

$$I = \frac{1}{i \lambda} \int_a^b \frac{g(x)}{f'(x)} \frac{d}{dx} \left( \exp\{i \lambda f(x)\} \right) dx \approx \frac{i g(a) \exp\{i \lambda f(a)\}}{\lambda f'(a)} - \frac{i g(b) \exp\{i \lambda f(b)\}}{\lambda f'(b)} . \quad (10.16)$$

Pokud je na integračním intervalu  $f'(x_0) = 0$ , počítáme

$$I \approx g(x_0) \exp\{i \lambda f(x_0)\} \int_a^b \exp\left\{i \frac{\lambda}{2} f''(x_0)(x-x_0)^2\right\} dx = \left( \frac{2\pi i}{|f''(x_0)|} \right)^{1/2} g(x_0) \exp\{i \lambda f(x_0)\} . \quad (10.17)$$

## 11 Lippmanova – Schrödingerova rovnice

Moellerovy operátory (znaménko u limity pro  $t$  je opačné než označení operátoru!)

$$\hat{\Omega}_\pm = \lim_{t \rightarrow \mp\infty} \exp\{i \hat{H} t\} \exp\{-i \hat{H}_0 t\} \quad . \quad (11.1)$$

Označíme

$$\hat{\Omega}_+ |\phi\rangle \equiv |\phi+\rangle , \quad \hat{\Omega}_- |\chi\rangle \equiv |\chi-\rangle . \quad (11.2)$$

Vektor  $|\phi+\rangle$  je skutečný stav v  $t=0$ , byl-li počátečním (*in*) stavem volné částice vektor  $|\phi\rangle$ , vektor  $|\chi-\rangle$  je skutečný stav v  $t=0$ , bude-li koncovým (*out*) stavem volné částice vektor  $|\chi\rangle$ . Mějme teď

$$|\psi\rangle = \hat{\Omega}_+ |\psi_{in}\rangle = \hat{\Omega}_- |\psi_{out}\rangle . \quad (11.3)$$

Poněvadž pro unitární operátory  $\hat{\Omega}^+ \hat{\Omega} = \hat{1}$ , můžeme z (11.3) získat vztah

$$|\psi_{out}\rangle = \hat{\Omega}_-^+ \hat{\Omega}_+ |\psi_{in}\rangle \equiv \hat{S} |\psi_{in}\rangle , \quad (11.4)$$

kde jsme zavedli operátor rozptylu

$$\hat{S} = \hat{\Omega}_-^+ \hat{\Omega}_+ . \quad (11.5)$$

Bez důkazu zde uvedeme tvrzení, že Hilbertův prostor můžeme rozdělit na podprostor rozptylových stavů (tj. stavů, které mají asymptotický vztah k *in* a *out* stavům) a podprostor vázaných stavů. Jen část důkazu: vezměme vázaný stav  $\hat{H} |\xi_n\rangle = E_n |\xi_n\rangle$ . Potom

$$\begin{aligned} \langle \xi_n | \psi \rangle &= \langle \xi_n | \hat{\Omega}_+ | \psi_{in} \rangle = \lim_{t \rightarrow -\infty} \exp\{i E_n t\} \langle \xi_n | \exp\{-i \hat{H}_0 t\} | \psi_{in} \rangle = \\ \langle \xi_n | \hat{\Omega}_- | \psi_{out} \rangle &= \lim_{t \rightarrow \infty} \exp\{i E_n t\} \langle \xi_n | \exp\{-i \hat{H}_0 t\} | \psi_{out} \rangle = 0 . \end{aligned} \quad (11.6)$$

Vztahy pro Moellerovy operátory jsme odvodili v předchozí části. Tady je trochu upravíme na

$$\begin{aligned} \hat{\Omega}_- &= \hat{1} + i \lim_{\varepsilon \rightarrow 0^+} \int_0^\infty \exp\{-\varepsilon t\} \exp\{i \hat{H} t\} \hat{V} \exp\{-i \hat{H}_0 t\} dt , \\ \hat{\Omega}_+ &= \hat{1} - i \lim_{\varepsilon \rightarrow 0^+} \int_{-\infty}^0 \exp\{\varepsilon t\} \exp\{i \hat{H} t\} \hat{V} \exp\{-i \hat{H}_0 t\} dt . \end{aligned} \quad (11.7)$$

Dostáváme tak

$$\begin{aligned} |\phi-\rangle &= \hat{\Omega}_- |\phi\rangle = |\phi\rangle + i \lim_{\varepsilon \rightarrow 0^+} \int_0^\infty \exp\{-\varepsilon t\} \exp\{i \hat{H} t\} \hat{V} \exp\{-i \hat{H}_0 t\} |\phi\rangle dt , \\ |\phi+\rangle &= \hat{\Omega}_+ |\phi\rangle = |\phi\rangle - i \lim_{\varepsilon \rightarrow 0^+} \int_{-\infty}^0 \exp\{\varepsilon t\} \exp\{i \hat{H} t\} \hat{V} \exp\{-i \hat{H}_0 t\} |\phi\rangle dt . \end{aligned} \quad (11.8)$$

Nejprve rozložíme stav  $|\phi\rangle$  podle vlastních stavů hamiltoniánu volné částice  $|\bar{p}\rangle$ , tj.  $\hat{H}_0 |\bar{p}\rangle = E_p |\bar{p}\rangle$ , takže

$$\exp\{-i \hat{H}_0 t\} |\phi\rangle = \exp\{-i \hat{H}_0 t\} \int |\bar{p}\rangle \langle \bar{p} | \phi \rangle d^3 \bar{p} = \int \exp\{-i E_p t\} |\bar{p}\rangle \langle \bar{p} | \phi \rangle d^3 \bar{p} \quad (11.9)$$

a potom provedeme integraci podle času

$$\begin{aligned} \lim_{\varepsilon \rightarrow 0^+} \int_0^\infty \exp\{-i(E_p - i\varepsilon - \hat{H})t\} dt &= -i \lim_{\varepsilon \rightarrow 0^+} (E_p - i\varepsilon - \hat{H})^{-1} = -i \lim_{\varepsilon \rightarrow 0^+} \hat{G}(E_p - i\varepsilon) \quad , \\ \lim_{\varepsilon \rightarrow 0^+} \int_{-\infty}^0 \exp\{-i(E_p + i\varepsilon - \hat{H})t\} dt &= i \lim_{\varepsilon \rightarrow 0^+} (E_p + i\varepsilon - \hat{H})^{-1} = i \lim_{\varepsilon \rightarrow 0^+} \hat{G}(E_p + i\varepsilon) \quad . \end{aligned} \quad (11.10)$$

Máme tak upraven vztah (11.8) na

$$|\phi \pm\rangle = |\phi\rangle + \lim_{\varepsilon \rightarrow 0^+} \int \hat{G}(E_p \pm i\varepsilon) \hat{V} |\vec{p}\rangle \langle \vec{p}| \phi\rangle d^3 \vec{p} \quad . \quad (11.11)$$

Ve složkách  $|\vec{p}\rangle$  pak máme

$$|\vec{p} \pm\rangle = |\vec{p}\rangle + \lim_{\varepsilon \rightarrow 0^+} \hat{G}(E_p \pm i\varepsilon) \hat{V} |\vec{p}\rangle \quad . \quad (11.12)$$

V dalším budeme symbol  $\lim_{\varepsilon \rightarrow 0^+}$  už vynechávat. Rovnici (11.12) přepíšeme do tvaru s  $\hat{G}_0$ . Připomeňme si,

že operátor Greenovy funkce definujeme jako inversní operátor k operátoru vlastní hodnoty hamiltoniánu

$$\begin{aligned} (z - \hat{H}) \hat{G}(z) &= \hat{1} \quad , \quad \hat{G}(z) = \frac{1}{z - \hat{H}} \quad , \\ (z - \hat{H}_0) \hat{G}_0(z) &= \hat{1} \quad , \quad \hat{G}_0(z) = \frac{1}{z - \hat{H}} \quad . \end{aligned} \quad (11.13)$$

Pro hamiltonián složený ze dvou částí  $\hat{H} = \hat{H}_0 + \hat{V}$ ,  $\hat{H}_0$  je základní část (volná částice v teorii rozptylu),  $\hat{V}$  je porucha (interakční potenciál v teorii rozptylu), můžeme hledat řešení rovnice pro Greenovu funkci pomocí vztahů

$$\begin{aligned} \frac{1}{z - \hat{H}_0 - \hat{V}} &= \frac{1}{z - \hat{H}_0} \left[ (z - \hat{H}_0 - \hat{V}) + \hat{V} \right] \frac{1}{z - \hat{H}_0 - \hat{V}} = \\ \frac{1}{z - \hat{H}_0} \left[ \hat{1} + \hat{V} \frac{1}{z - \hat{H}_0 - \hat{V}} \right] &= \frac{1}{z - \hat{H}_0} + \frac{1}{z - \hat{H}_0} \hat{V} \frac{1}{z - \hat{H}_0 - \hat{V}} \quad , \end{aligned} \quad (11.14)$$

a tedy

$$\begin{aligned} \hat{G}(z) &= \hat{G}_0(z) + \hat{G}_0(z) \hat{V} \hat{G}(z) \quad , \\ \hat{G}(z) &= \hat{G}_0(z) + \hat{G}_0(z) \hat{V} \hat{G}_0(z) + \hat{G}_0(z) \hat{V} \hat{G}_0(z) \hat{V} \hat{G}_0(z) + \dots \end{aligned} \quad (11.15)$$

Pro stavový vektor dostaváme

$$\begin{aligned} |\psi\rangle &= [\hat{1} + \hat{G}(z) \hat{V}] |\psi_0\rangle = [\hat{1} + (\hat{G}_0(z) + \hat{G}_0(z) \hat{V} \hat{G}_0(z) + \dots) \hat{V}] |\psi_0\rangle = \\ &= [\hat{1} + \hat{G}_0(z) \hat{V} + \hat{G}_0(z) \hat{V} \hat{G}_0(z) \hat{V} + \dots] |\psi_0\rangle = \frac{1}{\hat{1} - \hat{G}_0(z) \hat{V}} |\psi_0\rangle \Rightarrow \\ |\psi\rangle &= |\psi_0\rangle + \hat{G}_0(z) \hat{V} |\psi\rangle \quad . \end{aligned} \quad (11.16)$$

Místo (11.12) máme tedy

$$|\vec{p}\pm\rangle = |\vec{p}\rangle + \hat{G}_0(E_p \pm i\epsilon) \hat{V} |\vec{p}\pm\rangle . \quad (11.17)$$

V souřadnicové reprezentaci je

$$\langle \vec{x} | \vec{p} \pm \rangle = \langle \vec{x} | \vec{p} \rangle + \int \langle \vec{x} | \hat{G}_0(E_p \pm i\epsilon) | \vec{x}' \rangle V(\vec{x}') \langle \vec{x}' | \vec{p} \pm \rangle d^3 \vec{x}' . \quad (11.18)$$

Pro maticové prvky Greenovy funkce napíšeme

$$\begin{aligned} \langle \vec{x} | \hat{G}_0(z) | \vec{x}' \rangle &= \int \langle \vec{x} | \hat{G}_0(z) | \vec{p} \rangle \langle \vec{p} | \vec{x}' \rangle d^3 \vec{p} , \\ \hat{G}_0(z) | \vec{p} \rangle &= \frac{1}{z - \frac{\vec{p}^2}{2m}} | \vec{p} \rangle , \quad \langle \vec{x} | \vec{p} \rangle \langle \vec{p} | \vec{x}' \rangle = \frac{1}{(2\pi)^3} \exp\{i \vec{p}(\vec{x} - \vec{x}')\} , \end{aligned} \quad (11.19)$$

takže

$$\langle \vec{x} | \hat{G}_0(z) | \vec{x}' \rangle = \frac{2m}{(2\pi)^3} \int \frac{\exp\{i \vec{p}(\vec{x} - \vec{x}')\}}{2mz - \vec{p}^2} d^3 \vec{p} . \quad (11.20)$$

Při výpočtu postupujeme obvyklým způsobem

$$\begin{aligned} \frac{2m}{(2\pi)^3} \int \frac{\exp\{i \vec{p}(\vec{x} - \vec{x}')\}}{2mz - \vec{p}^2} d^3 \vec{p} &= \\ \frac{2m}{(2\pi)^3} \int_0^\infty \frac{p^2}{2mz - p^2} \int_0^\pi \sin\theta \exp\{i p |\vec{x} - \vec{x}'| \cos\theta\} \int_0^{2\pi} d\varphi d\theta dp &= \\ \frac{i m}{2\pi^2 |\vec{x} - \vec{x}'|} \int_{-\infty}^\infty \frac{p \exp\{i p |\vec{x} - \vec{x}'|\}}{p^2 - 2mz} dp &. \end{aligned} \quad (11.21)$$

Integrační křivku v rovině komplexního  $p$  můžeme uzavřít polokružnicí v horní polorovině. V této polorovině bude mít integrand pól v případě, že

$$\begin{aligned} p_+ &= \sqrt{2mE_p + i\epsilon} = \sqrt{2mE_p} + i\epsilon = p + i\epsilon , \\ p_- &= -\sqrt{2mE_p - i\epsilon} = -\sqrt{2mE_p} + i\epsilon = -p + i\epsilon \end{aligned} \quad (11.22)$$

a hodnota integrálu bude

$$\begin{aligned} 2\pi i \operatorname{Res}(p = p_+) &= \pi i \exp\{i p |\vec{x} - \vec{x}'|\} , \\ 2\pi i \operatorname{Res}(p = p_-) &= \pi i \exp\{-i p |\vec{x} - \vec{x}'|\} . \end{aligned} \quad (11.23)$$

Maticové elementy Greenovy funkce tedy jsou

$$\langle \vec{x} | \hat{G}_0(E_p \pm i\epsilon) | \vec{x}' \rangle = -\frac{m}{2\pi} \frac{\exp\{\pm i p |\vec{x} - \vec{x}'|\}}{|\vec{x} - \vec{x}'|} \quad (11.24)$$

a rovnice (11.18) má tvar

$$\langle \vec{x} | \vec{p} \pm \rangle = \langle \vec{x} | \vec{p} \rangle - \frac{m}{2\pi} \int \frac{\exp\{\pm i p |\vec{x} - \vec{x}'|\}}{|\vec{x} - \vec{x}'|} V(\vec{x}') \langle \vec{x}' | \vec{p} \pm \rangle d^3 \vec{x}' \quad . \quad (11.25)$$

S přiblížením

$$|\vec{x} - \vec{x}'| = (\vec{x}^2 - 2\vec{x} \cdot \vec{x}' + \vec{x}'^2)^{1/2} \approx r - \vec{n} \cdot \vec{x}' \quad , \quad |\vec{x} - \vec{x}'| \approx r \quad (11.26)$$

v exponentu resp. čitateli máme

$$\langle \vec{x} | \vec{p} \pm \rangle \approx \langle \vec{x} | \vec{p} \rangle - \frac{m \exp\{\pm i p r\}}{2\pi r} \int \exp\{\mp i p \vec{n} \cdot \vec{x}'\} V(\vec{x}') \langle \vec{x}' | \vec{p} \pm \rangle d^3 \vec{x}' \quad . \quad (11.27)$$

Protože máme

$$\langle \vec{x} | \vec{p} \rangle = \frac{1}{(2\pi)^{3/2}} \exp\{i \vec{p} \cdot \vec{x}\} \quad , \quad \langle \pm p \vec{n} | \vec{x}' \rangle = \frac{1}{(2\pi)^{3/2}} \exp\{\mp i p \vec{n} \cdot \vec{x}'\} \quad , \quad (11.28)$$

můžeme (11.27) zapsat také jako

$$\langle \vec{x} | \vec{p} \pm \rangle = \frac{1}{(2\pi)^{3/2}} \left[ \exp\{i \vec{p} \cdot \vec{x}\} - (2\pi)^2 m \frac{\exp\{\pm i p r\}}{r} \langle \pm p \vec{n} | \hat{V} | \vec{p} \pm \rangle \right] \quad . \quad (11.29)$$

S označením

$$f(p \vec{n} \leftarrow \vec{p}) = -(2\pi)^2 m \langle p \vec{n} | \hat{V} | \vec{p} + \rangle \quad (11.30)$$

máme konečně

$$\langle \vec{x} | \vec{p} + \rangle = \frac{1}{(2\pi)^{3/2}} \left[ \exp\{i \vec{p} \cdot \vec{x}\} + \frac{\exp\{i p r\}}{r} f(p \vec{n} \leftarrow \vec{p}) \right] \quad . \quad (11.31)$$

V souřadnicové reprezentaci je

$$f(p \vec{n} \leftarrow \vec{p}) = -m(2\pi)^{1/2} \int \exp\{-i p \vec{n} \cdot \vec{x}'\} V(\vec{x}') \langle \vec{x}' | \vec{p} + \rangle d^3 \vec{x}' \quad . \quad (11.32)$$

V Bornově approximaci dosadíme v integrandu (11.32)  $\langle \vec{x} | \vec{p} + \rangle = \langle \vec{x} | \vec{p} \rangle$ . S označením  $\vec{q} = \frac{1}{\hbar}(p \vec{n} - \vec{p})$  a

$\vec{n} \cdot \vec{p} / p = \cos\theta$  máme (píšeme Planckovu konstantu)

$$f(\vec{q}) = -\frac{m}{2\pi \hbar^2} \int \exp\{-i \vec{q} \cdot \vec{x}\} V(\vec{x}) d^3 \vec{x} \quad . \quad (11.33)$$

## 12 Parciální vlny

Místo báze tvořené vektory  $|\vec{p}\rangle$  zvolíme bázi  $|E,l,m\rangle$ , kterou získáme z transformačních vztahů

$$\langle \vec{x} | E, l, m \rangle = i^l \left( \frac{2m p}{\pi} \right)^{1/2} j_l(p r) Y_{lm}(\theta, \varphi) , \quad (12.1)$$

kde  $\vec{x} = r \sin\theta \cos\varphi \vec{e}_x + r \sin\theta \sin\varphi \vec{e}_y + r \cos\theta \vec{e}_z$  a  $p = (2mE)^{1/2}$ .

Užitím (12.1), (9.22) a (9.10) dostaváme relace ortonormality pro bázi  $|E,l,m\rangle$

$$\begin{aligned} \langle E', l', m' | E, l, m \rangle &= \int \langle E', l', m' | \vec{x} \rangle \langle \vec{x} | E, l, m \rangle d^3 \vec{x} = \\ &\delta(E' - E) \delta_{l'l} \delta_{m'm} . \end{aligned} \quad (12.2)$$

Jak vypočteme  $\langle \vec{p} | E, l, m \rangle$ ? Platí

$$\langle \vec{p} | E, l, m \rangle = \int \langle \vec{p} | \vec{x} \rangle \langle \vec{x} | E, l, m \rangle d^3 \vec{x} = \frac{1}{(2\pi)^{3/2}} \int \exp\{-i \vec{p} \cdot \vec{x}\} \langle \vec{x} | E, l, m \rangle d^3 \vec{x} . \quad (12.3)$$

Vyjádření rovinné vlny je

$$\exp\{i \vec{p} \cdot \vec{x}\} = 4\pi \sum_{l'=0}^{\infty} \sum_{m'=-l'}^{l'} i^{l'} j_{l'}(p r) \left( Y_{l'm'}(\Theta, \Phi) \right)^* Y_{l'm'}(\theta, \varphi) , \quad (12.4)$$

kde  $\vec{p} = p \sin\Theta \cos\Phi \vec{e}_x + p \sin\Theta \sin\Phi \vec{e}_y + p \cos\Theta \vec{e}_z$ . Dosazením (12.4) do (12.3) dostaneme

$$\langle \vec{p} | E, l, m \rangle = \frac{1}{(m p)^{1/2}} \delta(E_p - E) Y_{lm}(\Theta, \Phi) . \quad (12.5)$$

Rozklad vektoru  $|\vec{p}\rangle$  je tedy

$$|\vec{p}\rangle = \int_0^\infty \sum_{l=0}^{\infty} \sum_{m=-l}^l |E, l, m\rangle \langle E, l, m | \vec{p} \rangle dE = \frac{1}{(m p)^{1/2}} \sum_{l=0}^{\infty} \sum_{m=-l}^l \left( Y_{lm}(\Theta, \Phi) \right)^* |E, l, m\rangle . \quad (12.6)$$

Přirozeně stejný rozklad dostaváme pro

$$\begin{aligned} |\vec{p}+\rangle &= \hat{\Omega}_+ |\vec{p}\rangle = \frac{1}{(m p)^{1/2}} \sum_{l=0}^{\infty} \sum_{m=-l}^l \left( Y_{lm}(\Theta, \Phi) \right)^* \hat{\Omega}_+ |E, l, m\rangle = \\ &\frac{1}{(m p)^{1/2}} \sum_{l=0}^{\infty} \sum_{m=-l}^l \left( Y_{lm}(\Theta, \Phi) \right)^* |E, l, m+\rangle . \end{aligned} \quad (12.7)$$

V analogii k rozkladu (12.1) budeme psát

$$\langle \vec{x} | E, l, m+\rangle = i^l \left( \frac{2m p}{\pi} \right)^{1/2} \frac{\psi_{l,p}(r)}{p r} Y_{lm}(\theta, \varphi) , \quad (12.8)$$

odkud dostaneme pro (12.7)

$$\langle \vec{x} | \vec{p} + \rangle = \left( \frac{2}{\pi} \right)^{1/2} \sum_{l=0}^{\infty} \sum_{m=-l}^l i^l \frac{\psi_{l,p}(r)}{pr} Y_{lm}(\theta, \varphi) (Y_{lm}(\Theta, \Phi))^* . \quad (12.9)$$

Ještě jednou zapíšeme

$$\langle \vec{x} | \vec{p} \rangle = \left( \frac{2}{\pi} \right)^{1/2} \sum_{l=0}^{\infty} \sum_{m=-l}^l i^l j_l(pr) (Y_{lm}(\Theta, \Phi))^* Y_{lm}(\theta, \varphi) . \quad (12.10)$$

Vyjádřeme teď amplitudu rozptylu (11.32)

$$\begin{aligned} f(p \vec{n} \leftarrow \vec{p}) &= -m(2\pi)^2 \int \langle p \vec{n} | \vec{x}' \rangle V(r') \langle \vec{x}' | \vec{p} + \rangle d^3 \vec{x}' = -\frac{8m\pi}{p} \\ &\sum_{l=0}^{\infty} i^l \sum_{l'=0}^{\infty} (-i)^{l'} \sum_{m=-l}^l (Y_{lm}(\Theta, \Phi))^* \sum_{m'=-l'}^{l'} Y_{l'm'}(\theta, \varphi) \int_{\omega'} (Y_{l'm'}(\theta', \varphi'))^* Y_{lm}(\theta', \varphi') d\omega' \quad (12.11) \\ &\int_0^{\infty} j_{l'}(pr') V(r') \psi_{l,p}(r') r' dr' . \end{aligned}$$

Relace ortogonality pro sférické funkce zjednoduší výraz (12.11) na tvar

$$\begin{aligned} f(p \vec{n} \leftarrow \vec{p}) &= \\ &- \frac{8m\pi}{p} \sum_{l=0}^{\infty} \sum_{m=-l}^l (Y_{lm}(\Theta, \Phi))^* Y_{lm}(\theta, \varphi) \int_0^{\infty} j_l(pr') V(r') \psi_{l,p}(r') r' dr' . \quad (12.12) \end{aligned}$$

Rovnici (11.31) napíšeme s pomocí (12.9), (12.10) a (12.12) jako

$$i^l \frac{\psi_{l,p}(r)}{pr} = i^l j_l(pr) - \frac{2m}{pr} \exp\{i pr\} \int_0^{\infty} j_l(pr') V(r') \psi_{l,p}(r') r' dr' . \quad (12.13)$$

Odtud

$$\psi_{l,p}(r) = pr j_l(pr) - 2m pr h_l^{(+)}(pr) \int_0^{\infty} j_l(pr') V(r') \psi_{l,p}(r') r' dr' . \quad (12.14)$$

Exaktní výraz, platný pro všechna  $r$

$$\begin{aligned} \psi_{l,p}(r) &= pr j_l(pr) - 2m pr \left[ j_l(pr) \int_r^{\infty} h_l^{(+)}(pr') V(r') \psi_{l,p}(r') r' dr' + \right. \\ &\left. h_l^{(+)}(pr) \int_0^r j_l(pr') V(r') \psi_{l,p}(r') r' dr' \right] . \quad (12.15) \end{aligned}$$

V předchozím vztahu je využito asymptotického chování  $h_l^{(+)}(z \rightarrow \infty)$ . Označíme-li jako parciální amplitudu rozptylu

$$f_l(p) = -\frac{2m}{p} \int_0^\infty j_l(pr') V(r') \psi_{l,p}(r') r' dr' \quad (12.16)$$

můžeme výraz (12.14) zapsat jako

$$\psi_{l,p}(r) = pr \left[ j_l(pr) + p f_l(p) h_l^{(+)}(pr) \right] . \quad (12.17)$$

Protože

$$j_l(z) = \frac{1}{2i} (h_l^{(+)}(z) - h_l^{(-)}(z)) , \quad (12.18)$$

můžeme (12.17) zapsat jako

$$\psi_{l,p}(r) = \frac{i}{2} pr \left[ h_l^{(-)}(pr) - S_l(p) h_l^{(+)}(pr) \right] , \quad (12.19)$$

kde

$$S_l(p) = 1 + 2i p f_l(p) . \quad (12.20)$$

Výraz (12.12) je teď

$$f(p \vec{n} \leftarrow \vec{p}) = 4\pi \sum_{l=0}^{\infty} \sum_{m=-l}^l (Y_{lm}(\Theta, \Phi))^* Y_{lm}(\theta, \varphi) f_l(p) . \quad (12.21)$$

Označíme-li jako úhel  $\theta$  nikoliv azimutální úhel, ale úhel rozptylu  $\vec{n} \cdot \vec{p}/p = \cos\theta$ , můžeme s využitím (9.13) zapsat poslední vztah jako

$$f(p \vec{n} \leftarrow \vec{p}) = \sum_{l=0}^{\infty} (2l+1) f_l(p) P_l(\cos\theta) . \quad (12.22)$$

Přirozeně, pokud dopadá vlna ve směru osy  $z$ , oba úhly jsou stejné. Vlnová funkce je pak

$$\psi = \frac{i}{2pr} \sum_{l=0}^{\infty} (2l+1) P_l(\cos\theta) \left[ (-1)^l \exp\{-i pr\} - S_l \exp\{i pr\} \right] . \quad (12.23)$$

## 13 Rozptyl při vysokých energiích

Schrödingerovu rovnici

$$\Delta\psi(\vec{r}) + p^2 \psi(\vec{r}) = 2mV(\vec{r})\psi(\vec{r}) \quad (13.1)$$

budeme řešit substitucí

$$\psi(\vec{r}) = \exp\{i p z\} F(\vec{r}) . \quad (13.2)$$

Dostáváme tak rovnici

$$\Delta F(\vec{r}) + 2i p \frac{\partial F(\vec{r})}{\partial z} = 2m V(\vec{r}) F(\vec{r}) . \quad (13.3)$$

Předpokládáme, že  $\Delta F \approx 0$ , takže můžeme napsat explicitní tvar řešení rovnice (13.3), řešení Schrödingerovy rovnice

$$\psi(\vec{r}) = C \exp \left\{ i \left[ p z - \frac{m}{p} \int_{-\infty}^z V(\vec{\rho}, z) dz \right] \right\} , \quad (13.4)$$

kde jsme označili  $\vec{\rho} = x \vec{e}_x + y \vec{e}_y$ . Všimněme si, že (13.4) je možno psát jako

$$\psi(\vec{r}) = C \exp \left\{ i \int_{-\infty}^z [p^2 - 2m V(\vec{\rho}, z)]^{1/2} dz \right\} . \quad (13.5)$$

Dosadíme-li do výrazu pro amplitudu rozptylu

$$f(p \vec{n} \leftarrow \vec{p}) = -\frac{m}{2\pi} \int \exp\{-i p \vec{n} \cdot \vec{r}\} V(\vec{r}) \psi(\vec{r}) d^3 r \quad (13.6)$$

ze (13.3)

$$m V(\vec{r}) \psi(\vec{r}) = i p \exp\{i p z\} \frac{\partial F(\vec{r})}{\partial z} , \quad (13.7)$$

dostaneme

$$f(p \vec{n} \leftarrow \vec{p}) = \frac{p}{2i\pi} \int \exp\{-i p \vec{n} \cdot \vec{\rho}\} \exp\{i p(1-n_z)z\} \frac{\partial F(\vec{r})}{\partial z} d^2 \vec{\rho} . \quad (13.8)$$

Pro  $n_z \approx 1$  můžeme amplitudu rozptylu zapsat jako

$$f(p \vec{n} \leftarrow \vec{p}) = \frac{p}{2i\pi} \int \exp\{-i p \vec{n} \cdot \vec{\rho}\} [F(\vec{\rho}, \infty) - F(\vec{\rho}, -\infty)] d^2 \vec{\rho} \quad (13.9)$$

a po dosazení z (13.4)

$$\begin{aligned} f(p \vec{n} \leftarrow \vec{p}) &= \frac{p}{2i\pi} \int [S(\vec{\rho}) - 1] \exp\{-i p \vec{n} \cdot \vec{\rho}\} d^2 \vec{\rho} , \\ S(\vec{\rho}) &= \exp\{2i \delta(\vec{\rho})\} , \quad \delta(\vec{\rho}) = -\frac{m}{2p} \int_{-\infty}^{\infty} V(\vec{\rho}, z) dz . \end{aligned} \quad (13.10)$$

## 14 Více o parciálních vlnách

Vyjdeme z unitarity S-matice. Napíšeme proto

$$S_l(p) = \exp\{2i \delta_l(p)\} . \quad (14.1)$$

Vztah mezi fázovým posuvem a amplitudou rozptylu dostaneme z (12.20)

$$f_l(p) = \frac{1}{p} \exp\{i\delta_l(p)\} \sin\delta_l(p) . \quad (14.2)$$

Celkový účinný průřez je

$$\sigma = \sum_{l=0}^{\infty} \sigma_l = 4\pi \sum_{l=0}^{\infty} (2l+1) |f_l|^2 = \frac{4\pi}{p^2} \sum_{l=0}^{\infty} (2l+1) \sin^2 \delta_l(p) . \quad (14.3)$$

Ze vztahu (14.2) dostáváme vyjádření optického teorému

$$\Im\{f_l(p)\} = p |f_l(p)|^2 , \quad (14.4)$$

což můžeme přepsat jako

$$\Im\left\{\frac{1}{f_l(p)}\right\} = -p . \quad (14.5)$$

Musí tedy amplituda rozptylu mít tvar

$$f_l(p) = \frac{1}{g_l(p) - i p} , \quad (14.6)$$

kde reálná funkce  $g_l(p)$  je z (14.2)

$$g_l(p) = p \cot\delta_l(p) . \quad (14.7)$$

## 14.1 Bornova aproximace

Funkce  $\psi_{l,p}(r)$  a  $pr j_l(pr)$  jsou řešením rovnic

$$\begin{aligned} \frac{d^2\psi_{l,p}(r)}{dr^2} + \left[ p^2 - \frac{l(l+1)}{r^2} - 2mV(r) \right] \psi_{l,p}(r) &= 0 , \\ \frac{d^2 r j_l(pr)}{dr^2} + \left[ p^2 - \frac{l(l+1)}{r^2} \right] r j_l(pr) &= 0 . \end{aligned} \quad (14.8)$$

S okrajovou podmínkou  $\psi_{l,p}(0)=0$  dostaneme úpravou (14.8)

$$pr j_l(pr) \frac{d\psi_{l,p}(r)}{dr} - \psi_{l,p}(r) \frac{dpr j_l(pr)}{dr} = 2m p \int_0^r V(r) \psi_{l,p}(r) j_l(pr) r dr . \quad (14.9)$$

Pro  $r \rightarrow \infty$  máme ze (12.19)

$$\begin{aligned}\psi_{l,p}(r) &= \frac{i}{2} pr \left[ h_l^{(-)}(pr) - S_l(p) h_l^{(+)}(pr) \right] , \\ \frac{d\psi_{l,p}(r)}{dr} &= \frac{1}{2} p^2 r \left[ h_l^{(-)}(pr) + S_l(p) h_l^{(+)}(pr) \right] .\end{aligned}\quad (14.10)$$

Levá strana (14.9) je tedy

$$\frac{i}{2} p (S_l(p) - 1) = -p^2 f_l(p) . \quad (14.11)$$

V integrandu integrálu na pravé straně položíme  $\psi_{l,p}(0) \approx pr j_l(pr)$ , takže máme

$$f_l(p) = -2m \int_0^\infty V(r) (j_l(pr))^2 r^2 dr . \quad (14.12)$$

Srovnáním se vztahem (14.2) vidíme nekonsistenci této approximace. Ta se "ztratí" v přiblížení malých fázových posuvů, kdy

$$f_l(p) \approx \frac{\delta_l(p)}{p} \Rightarrow \delta_l(p) \approx -2m p \int_0^\infty V(r) (j_l(pr))^2 r^2 dr . \quad (14.13)$$

## 14.2 Kvasiklasická approximace

Rovnice pro volnou částici a částici v potenciálovém poli (14.8) zapíšeme trochu odlišně, když zaměníme značení, tj.  $\psi_{l,p}(r) \rightarrow \psi_l(r)$  a  $r j_l(pr) \rightarrow \chi_l(r)$  a píšeme místo  $l(l+1)$  obecněji  $\lambda^2 = \lambda^2(l)$

$$\frac{d^2 \chi_l(r)}{dr^2} + \left[ p^2 - \frac{\lambda^2}{r^2} \right] \chi_l(r) = 0 \quad (14.14)$$

$$\frac{d^2 \psi_l(r)}{dr^2} + \left[ p^2 - \frac{\lambda^2}{r^2} - 2mV(r) \right] \psi_l(r) = 0 . \quad (14.15)$$

Asymptotický tvar sférické Besselovy funkce vede k asymptotice řešení (14.14)

$$\chi_l(r) \xrightarrow[z \rightarrow \infty]{} \sin\left(pr - l\frac{\pi}{2}\right) . \quad (14.16)$$

Ve stacionárním jednorozměrném případě je kvasiklasickým řešením rovnice (14.15)

$$\psi_l(r) = \frac{A}{2\sqrt{|P|}} \exp\left\{-\int_r^a |P| dr\right\} , \quad |P| = \left[ 2mV(r) + \frac{\lambda^2}{r^2} - p^2 \right]^{1/2} \quad (14.17)$$

v intervalu  $0 \leq r < a$ , kde  $p^2 - 2mV(r) - \lambda^2/r^2 < 0$  a

$$\psi_l(r) = \frac{B_1}{\sqrt{P}} \exp \left\{ i \int_a^r P dr \right\} + \frac{B_2}{\sqrt{P}} \exp \left\{ -i \int_a^r P dr \right\}, \quad P = \left[ p^2 - 2mV(r) - \frac{\lambda^2}{r^2} \right]^{1/2} \quad (14.18)$$

v intervalu  $a < r < \infty$ , kde  $p^2 - 2mV(r) - \lambda^2/r^2 > 0$ .

V okolí bodu obratu je

$$p^2 - 2mV(r) - \frac{\lambda^2}{r^2} \approx \alpha^2(r-a) \quad . \quad (14.19)$$

V tomto okolí (ale stále dostatečně daleko od bodů obratu) můžeme psát

$$\begin{aligned} \psi_l(r) &= \frac{A}{2\sqrt{\alpha}(a-r)^{1/4}} \exp \left\{ -\frac{2\alpha}{3}(a-r)^{3/2} \right\}, \quad \psi_l(r) = \\ &\frac{B_1}{\sqrt{\alpha}(r-a)^{1/4}} \exp \left\{ \frac{2\alpha}{3}i(r-a)^{3/2} \right\} + \frac{B_2}{\sqrt{\alpha}(r-a)^{1/4}} \exp \left\{ -\frac{2\alpha}{3}i(r-a)^{3/2} \right\} . \end{aligned} \quad (14.20)$$

Při analytickém prodloužení odmocnin do komplexní roviny použijeme zápisu takového zápisu, aby v horní polovině převažoval (exponencielně) jeden člen, v dolní polovině člen druhý. V našem případě je vhodný zápis

$$a - r = \rho \exp \{i(\varphi - \pi)\} \quad . \quad (14.21)$$

Obchodem bodů obratu v horní (spodní) polovině, tj. pro  $\varphi \in (0, \pi)$  ( $\varphi \in (\pi, 2\pi)$ ) dostáváme podmínky spojitosti

$$B_2 = \frac{A}{2} \exp \left\{ i \frac{\pi}{4} \right\}, \quad B_1 = \frac{A}{2} \exp \left\{ -i \frac{\pi}{4} \right\} \quad , \quad (14.22)$$

takže máme v klasicky dostupné oblasti kvasiklasické řešení rovnice (14.15)

$$\psi_l(r) = \frac{C}{[P(r)]^{1/2}} \cos \left\{ \int_a^r P(r) dr - \frac{\pi}{4} \right\}, \quad P(r) = \left[ p^2 - 2mV(r) - \frac{\lambda^2}{r^2} \right]^{1/2} \quad . \quad (14.23)$$

Budeme-li tedy rovnici (14.14) řešit standardním postupem kvasiklasické approximace, dostaneme výraz

$$\chi_l(r) = \frac{C}{P(r)^{1/2}} \sin \left( \int_a^r P(r) dr + \frac{\pi}{4} \right), \quad P(r) = \left( p^2 - \frac{l(l+1)}{r^2} \right)^{1/2}, \quad P(a) = 0 \quad . \quad (14.24)$$

Integrál můžeme spočítat analyticky, takže argument sinu je

$$\begin{aligned} \int_a^r P(r) dr + \frac{\pi}{4} &= pr \left[ 1 - \left( \frac{\lambda}{pr} \right)^2 \right]^{1/2} + \lambda \left[ \arcsin \frac{\lambda}{pr} - \frac{\pi}{2} \right] + \frac{\pi}{4} \xrightarrow{r \rightarrow \infty} \\ &pr - \left( \lambda - \frac{1}{2} \right) \frac{\pi}{2} \quad . \end{aligned} \quad (14.25)$$

Srovnáním (14.25) a (14.16) docházíme k tomu, že v kvasiklasické approximaci musíme jako velikost momentu impulzu vzít veličinu  $\lambda = l + 1/2$ . Fázový posuv už spočteme snadno když od skutečné fáze odečteme fázi odpovídající volné částici

$$\delta_l(p) = \int_a^\infty \left\{ \left[ p^2 - 2mV(r) - \frac{(l+1/2)^2}{r^2} \right]^{1/2} - p \right\} dr + \left( l + \frac{1}{2} \right) \frac{\pi}{2} . \quad (14.26)$$

Pro velké hodnoty  $l$  je také velká hodnota  $a$ , takže můžeme interakční potenciál považovat za poruchu. Ze (14.26) dostaneme

$$\delta_l(p) = -m \int_{a_0}^\infty \frac{V(r)}{\left[ p^2 - \frac{(l+1/2)^2}{r^2} \right]^{1/2}} dr , \quad a_0 = \frac{l+1/2}{p} . \quad (14.27)$$

### 14.3 Rozptyl při vysokých energiích

Pro sféricky symetrický potenciál můžeme (13.10) upravit na

$$f(p \vec{n} \leftarrow \vec{p}) = -i p \int_0^\infty [\exp\{2i\delta(\rho)\} - 1] J_0(p \sin\theta \rho) \rho d\rho ,$$

$$\sin\theta = (n_x^2 + n_y^2)^{1/2} , \quad \delta(\rho) = -\frac{m}{2p} \int_{-\infty}^\infty V(\rho, z) dz . \quad (14.28)$$

Porovnejme to s výrazem (12.22)

$$f(p \vec{n} \leftarrow \vec{p}) = \frac{1}{2i} \sum_{l=0}^\infty (2l+1) [\exp\{2i\delta_l(p)\} - 1] P_l(\cos\theta) . \quad (14.29)$$

Pro malé úhly platí

$$P_l(\cos\theta) \approx J_0\left(\left(l + \frac{1}{2}\right)\sin\theta\right) , \quad (14.30)$$

takže

$$f(p \vec{n} \leftarrow \vec{p}) \approx \frac{1}{i} \sum_{l=0}^\infty \left( l + \frac{1}{2} \right) [\exp\{2i\delta_l(p)\} - 1] J_0\left(\left(l + \frac{1}{2}\right)\sin\theta\right) , \quad (14.31)$$

což po nahrazení  $(l+1/2) \rightarrow p \rho$  a  $\Delta l = (l+1+1/2) - (l+1/2) \rightarrow p d\rho$  vede skutečně k (14.28).

### 14.4 Rozptyl při nízkých energiích

Při nízkých energiích budeme při řešení rovnice (14.15) rozlišovat tři oblasti. Označíme jako  $a$  poloměr oblasti, kde je interakce výrazná. V první oblasti můžeme zanedbat kinetickou energii částice, tj.

$$\frac{d^2\psi_l(r)}{dr^2} - \left[ \frac{l(l+1)}{r^2} + 2mV(r) \right] \psi_l(r) \approx 0 \quad , \quad 0 \leq r \leq a \quad . \quad (14.32)$$

V další oblasti můžeme zanedbat i potenciální energii

$$\frac{d^2\psi_l(r)}{dr^2} - \frac{l(l+1)}{r^2} \psi_l(r) \approx 0 \quad , \quad a \leq r \leq \frac{1}{p} \quad . \quad (14.33)$$

Konečně ve vnější oblasti už poklesne efektivní potenciál natolik, že musíme uvažovat i kinetickou energii

$$\frac{d^2\psi_l(r)}{dr^2} + \left[ p^2 - \frac{l(l+1)}{r^2} \right] \psi_l(r) \approx 0 \quad , \quad \frac{1}{p} \leq r \leq \infty \quad . \quad (14.34)$$

Řešením rovnice (14.33) je

$$\psi_l(r) = c_1 r^{l+1} + c_2 r^{-l} \quad . \quad (14.35)$$

Řešením rovnice (14.34) je

$$\psi_l(r) = d_1 r j_l(pr) + d_2 r n_l(pr) \quad . \quad (14.36)$$

Asymptotický tvar (14.36) pro velké hodnoty argumentu je podle (9.19)

$$\psi_l(r) \approx \frac{(d_1^2 + d_2^2)^{1/2}}{p} \sin \left( pr - l \frac{\pi}{2} + \delta_l(p) \right) \quad , \quad \tan \delta_l(p) = -\frac{d_2}{d_1} \quad , \quad (14.37)$$

zatímco pro malé hodnoty argumentu podle (9.20)

$$\psi_l(r) \approx d_1 \frac{p^l}{(2l+1)!!} r^{l+1} - d_2 \frac{(2l-1)!!}{p^{l+1}} r^{-l} \quad . \quad (14.38)$$

Porovnáním (14.38) a (14.35) získáme vyjádření koeficientů  $d$  pomocí koeficientů  $c$ , a dosazení do (14.37) dává výraz pro fázový posuv

$$\delta_l(p) \approx \tan \delta_l(p) = \frac{c_1}{c_2 ((2l-1)!!)^2 (2l+1)} \frac{p^{2l+1}}{p} \quad . \quad (14.39)$$

Pro amplitudu rozptylu dostáváme

$$f_l(p) = \frac{\exp\{2i\delta_l(p)\} - 1}{2i p} \approx \frac{\delta_l(p)}{p} \square p^{2l} \quad . \quad (14.40)$$

Je proto většinou možné považovat rozptyl při malých energiích za  $s$ -rozptyl.

## 15 Nepružný rozptyl

### 15.1 Parciální vlny

Budeme se snažit o co největší podobnost s popisem při pružném rozptylu. Tak vlnovou funkci napíšeme ve stejném tvaru, tj. jako (12.23)

$$\psi = \frac{i}{2pr} \sum_{l=0}^{\infty} (2l+1) P_l(\cos\theta) \left[ (-1)^l \exp\{-ipr\} - S_l \exp\{ipr\} \right] , \quad (15.1)$$

ale nebude již platit  $|S_l|=1$ . Amplituda rozptylu bude mít také stejný tvar

$$f(\theta) = \frac{1}{2ip} \sum_{l=0}^{\infty} (2l+1) (S_l - 1) P_l(\cos\theta) . \quad (15.2)$$

Rozdíl musíme brát v úvahu při výpočtu účinných průřezů. Máme

$$\sigma_t = \sum_{l=0}^{\infty} \sigma_t^{(l)} , \quad \sigma_t^{(l)} = \sigma_e^{(l)} + \sigma_r^{(l)} . \quad (15.3)$$

(Indexy total, elastic a reaction). Pro pružný rozptyl

$$\sigma_e^{(l)} = \frac{\pi}{p^2} (2l+1) |1-S_l|^2 , \quad (15.4)$$

pro nepružný rozptyl

$$\sigma_r^{(l)} = \frac{\pi}{p^2} (2l+1) (1-|S_l|^2) \quad (15.5)$$

a pro celkový účinný průřez

$$\sigma_t^{(l)} = \frac{2\pi}{p^2} (2l+1) (1-\Re S_l) . \quad (15.6)$$

Významnými hodnotami jsou  $S_l=1$  - žádný rozptyl,  $S_l=-1$  - maximální pružný rozptyl a  $S_l=0$  - úplná absorpcie. Celkový účinný průřez je tedy

$$\sigma_t = \frac{2\pi}{p^2} \sum_{l=0}^{\infty} (2l+1) (1-\Re S_l) . \quad (15.7)$$

Dosazení  $\theta=0$  do imaginární části (15.2) a porovnání s (15.7) dává zobecnění optického teorému

$$\Im f(0) = \frac{p}{4\pi} \sigma_t . \quad (15.8)$$

Pro parciální amplitudy

$$\Im f_l(p) = \frac{p}{4\pi} \frac{\sigma_t^{(l)}}{2l+1} . \quad (15.9)$$

Při záměně rozbíhavé vlny za sbíhavou nebudeme moci využít komplexního sdružení, ale záměny  $p \rightarrow -p$  a  $S_l \rightarrow 1/S_l$ . Je pak

$$f_l(p) = \frac{S_l - 1}{2ip} , \quad f_l(-p) = \frac{\frac{1}{S_l} - 1}{-2ip} , \quad (15.10)$$

odkud po vyloučení  $S_l$  dostaneme vztah mezi  $f_l(p)$  a  $f_l(-p)$ , který lze upravit na tvar

$$\frac{1}{f_l(p)} + ip - \left( \frac{1}{f_l(-p)} - ip \right) = 0 \Rightarrow \frac{1}{f_l(p)} + ip = g_l(p^2) , \quad (15.11)$$

takže

$$f_l(p) = \frac{1}{g_l(p^2) - ip} . \quad (15.12)$$

## 15.2 Komplexní index lomu prostředí

Mějme prostředí, skládající z mnoha rozptylových center. Bude-li velikost amplitudy rozptylu malá ve srovnání se střední vzdáleností částic  $d \approx (V/N)^{1/3}$ , můžeme výslednou amplitudu rozptylu v prostředí považovat za prostý součet jednotlivých amplitud. Dále si zavedeme efektivní potenciál, který bude takový, že vyjádření amplitudy v Bornově approximaci budeme dávat správnou hodnotu amplitudy rozptylu dopředu (tzn efektivní potenciál bude komplexní). Podle (6.12) (budeme teď psát i Planckovu konstantu)

$$U_{eff} = -\frac{N}{V} \frac{2\pi\hbar^2}{m} f(0, E) . \quad (15.13)$$

Rovinnou vlnu procházející prostředím zapíšeme s komplexním vlnovým vektorem

$$\psi = \exp\{ikz\} , \quad k = \frac{1}{\hbar} \left[ 2m(E - U_{eff}) \right]^{1/2} . \quad (15.14)$$

Index lomu je pak

$$n = \left[ 1 - \frac{U_{eff}}{E} \right]^{1/2} = \left[ 1 + \frac{N}{V} \frac{2\pi\hbar^2}{mE} f(0, E) \right]^{1/2} . \quad (15.15)$$

Není-li index lomu příliš odlišný od jedničky, můžeme psát

$$\Im n \approx \frac{N}{V} \frac{2\pi}{k^2} \Im f(0, E) = \frac{N}{V} \frac{\sigma_t}{2k} . \quad (15.16)$$

## 16 Příklady

### 16.1 Rozptyl nukleonů

Při malých energiích můžeme psát pro amplitudu rozptylu protonu na neutronu (uvažujeme pouze  $s$ -rozptyl, tj.  $l=0$ )

$$f = \frac{1}{g(k^2) - ik} \approx \frac{1}{-\kappa_0 + \frac{1}{2}r_0 k^2 - ik} . \quad (16.1)$$

Amplituda má singularitu (v komplexní rovině impulsů  $k$ ) pro

$$k = i\kappa , \quad \kappa = \kappa_0 + \frac{1}{2}r_0 \kappa^2 . \quad (16.2)$$

Účinný průřez je pak

$$\sigma = 4\pi |f|^2 = \frac{4\pi}{\left(\kappa_0 - \frac{1}{2}r_0 k^2\right)^2 + k^2} . \quad (16.3)$$

Malou úpravou dostaneme

$$\sigma = \frac{4\pi}{(k^2 + \kappa^2) \left[ 1 - r_0 \kappa + \frac{1}{4}r_0^2 (k^2 + \kappa^2) \right]} \approx \frac{4\pi \hbar^2}{m(E + |\varepsilon|)} (1 + r_0 \kappa_0) , \quad (16.4)$$

kde  $m = m_p m_n / (m_p + m_n)$  a  $-\varepsilon$  je energie vázaného stavu částic (deuteronu).

### 16.2 Rozptyl rychlých neutronů na jádře

Efektivní poloměr jádra označme  $a$ . Předpokládáme splnění podmínky kvaziklasické approximace  $ka = 2\pi a / \lambda \ll 1$ . Dále předpokládáme, že všechny neutrony s momentem impulsu  $l < l_0 = ka$ , tj. s impaktním parametrem  $\rho = \hbar l / mv = l/k < a$  jsou absorbovány. Jako model můžeme pak vzít Fraunhoferovu difraci na nepropustném terčíku poloměru  $a$ . Pro diferenciální účinný průřez dostaváme hned

$$d\sigma_e = \pi a^2 \frac{J_1^2(ka\theta)}{\pi\theta^2} d\Omega . \quad (16.5)$$

Z obecného vztahu pro rozptyl je

$$S_l = \begin{cases} 0 & l < l_0 \\ 1 & l > l_0 \end{cases} \Rightarrow f(\theta) = \frac{1}{2ik} \sum_{l=0}^{l_0} (2l+1) P_l(\cos\theta) . \quad (16.6)$$

V sumě budou nejdůležitější úlohu hrát velké hodnoty  $l$ , takže ve známé approximaci

$$f(\theta) = \frac{i}{k} \int_0^{ka} \xi J_0(\theta \xi) d\xi = i a \frac{J_1(ka\theta)}{\theta} . \quad (16.7)$$

Celkový účinný průřez pružného rozptylu je

$$\sigma_e = \pi a^2 \int_0^\infty \frac{J_1^2(ka\theta)}{\pi\theta^2} 2\pi\theta d\theta = \pi a^2 . \quad (16.8)$$

### 16.3 Rozptyl rychlých elektronů na atomu

Označme hustotu rozložení náboje v atomu

$$\rho(\vec{r}) = e n(r) - Z e \delta(\vec{r}) , \quad (16.9)$$

kde  $e$  je náboj elektronu a  $n(r)$  hustota pravděpodobnosti výskytu elektronu. Poissonovu rovnici

$$\Delta \Phi(\vec{r}) = -\frac{1}{\epsilon_0} \rho(\vec{r}) \quad (16.10)$$

řešíme pomocí Fourierovy transformace, tj.

$$g(\vec{r}) = \frac{1}{(2\pi)^3} \int G(\vec{q}) \exp\{i\vec{q} \cdot \vec{r}\} d^3\vec{q} , \quad G(\vec{q}) = \int g(\vec{r}) \exp\{-i\vec{q} \cdot \vec{r}\} d^3\vec{r} . \quad (16.11)$$

Z rovnic (16.10) a (16.9) máme

$$\Phi(q) = \frac{e}{\epsilon_0 q^2} (F(q) - Z) , \quad F(q) = \int n(r) \exp\{-i\vec{q} \cdot \vec{r}\} d^3\vec{r} . \quad (16.12)$$

Integrace vzhledem k úhlovým proměnným dává

$$F(q) = \frac{4\pi}{q} \int_0^\infty n(r) \sin(qr) r dr . \quad (16.13)$$

Do vztahu (11.33) dosadíme  $V(q) = e\Phi(q)$ , takže máme

$$f(q) = \frac{me^2}{2\pi\hbar^2\epsilon_0 q^2} (Z - F(q)) \quad (16.14)$$

a konečně pro účinný průřez

$$d\sigma = 4 \left( \frac{me^2}{4\pi\epsilon_0\hbar^2 q^2} \right)^2 (Z - F(q))^2 d\Omega . \quad (16.15)$$

Máme

$$q^2 = \frac{1}{\hbar^2} (p \vec{n} - \vec{p})^2 = 2 \left( \frac{p}{\hbar} \right)^2 (1 - \cos\theta) = \left( 2 \frac{p}{\hbar} \sin \frac{\theta}{2} \right)^2 . \quad (16.16)$$

Je vidět, že pro velmi malé úhly rozptylu lze považovat  $q$  za malé (označíme-li  $a$  poloměr koule, kde je  $n(r)$  významně různé od nuly, znamená "malé  $q$ " podmítku  $qa \ll 2\pi$ ) a máme přibližně

$$\begin{aligned} F(q) &\ll \int n(r) \left[ 1 - i \vec{q} \cdot \vec{r} - \frac{1}{2} (\vec{q} \cdot \vec{r})^2 \right] d^3 r , \quad \int n(r) d^3 r = Z , \\ \int n(r) \vec{q} \cdot \vec{r} d^3 r &= 0 , \quad \int n(r) (\vec{q} \cdot \vec{r})^2 d^3 r = \frac{q^2}{3} \int n(r) r^2 d^3 r , \\ Z - F(q) &\ll \frac{1}{6} q^2 \int n(r) r^2 d^3 r . \end{aligned} \quad (16.17)$$

Dosazením do (16.15) dostáváme pro rozptyl pod malými úhly

$$d\sigma = \left( \frac{me^2}{3\epsilon_0\hbar^2} \int_0^\infty n(r) r^4 dr \right)^2 d\Omega . \quad (16.18)$$

Účinný průřez je pro velmi malé rozptylové úhly konstantní. Naopak pro  $qa \gg 2\pi$  můžeme  $F(q)$  oproti  $Z$  zanedbat a dostáváme

$$d\sigma = \left( \frac{Ze^2}{8\pi\epsilon_0 mv^2} \right)^2 \frac{d\Omega}{\sin^4 \frac{\theta}{2}} , \quad (16.19)$$

tedy klasický Rutherfordův vztah.

Dosadíme-li do (16.13) Thomasovu – Fermiho hustotu pravděpodobnosti

$$n(r) = \frac{Z^2}{b^3} \rho \left( Z^{1/3} \frac{r}{b} \right) , \quad (16.20)$$

dostaneme

$$F(q) = \frac{4\pi Z^2}{qb^3} \int_0^\infty \rho \left( Z^{1/3} \frac{r}{b} \right) \sin(qr) r dr = Z \phi \left( \frac{qb}{Z^{1/3}} \right) . \quad (16.21)$$

Derivováním (16.16) dostáváme vyjádření elementu prostorového úhlu jako

$$d\Omega = \left( \frac{\hbar}{p} \right)^2 q dq d\varphi . \quad (16.22)$$

Diferenciální účinný průřez (16.15) bude po dosazení ze (16.21) a (16.22)

$$d\sigma = \left( \frac{m e^2 Z}{2\pi \epsilon_0 \hbar p} \right)^2 \left( 1 - \phi \left( \frac{q b}{Z^{1/3}} \right) \right)^2 \frac{dq}{q^3} d\varphi = \\ Z^{4/3} \left( \frac{m e^2 b}{2\pi \epsilon_0 \hbar p} \right)^2 \Phi \left( \frac{q b}{Z^{1/3}} \right) d\left( \frac{q b}{Z^{1/3}} \right) d\varphi . \quad (16.23)$$

Integrací (16.23) dostáváme velmi obecný výraz pro účinný průřez rozptylu rychlého elektronu na atomu

$$\sigma \square \frac{Z^{4/3}}{E} . \quad (16.24)$$

## 17 Rozptyl identických částic

Zvolíme těžišťový souřadný systém. Výměna částic znamená změnu orientace vektoru spojujícího částice. Ve sférických souřadnicích to znamená záměnu azimutálního úhlu  $\theta \rightarrow \pi - \theta$ . Máme tedy pro vlnovou funkci

$$\psi = \exp\{ikz\} \pm \exp\{-ikz\} + \frac{\exp\{ikr\}}{r} [f(\theta) \pm f(\pi - \theta)] . \quad (17.1)$$

Je-li celkový spin částic sudý, je účinný průřez

$$d\sigma_s = |f(\theta) + f(\pi - \theta)|^2 d\Omega , \quad (17.2)$$

zatímco pro celkový spin lichý je

$$d\sigma_a = |f(\theta) - f(\pi - \theta)|^2 d\Omega . \quad (17.3)$$

V experimentech se jen málo využívá polarizovaných svazků. Je tedy vhodné mít střední hodnoty. Z celkového počtu  $(2s+1)^2$  stavů je pro částice s poločíselným spinem  $s(2s+1)$  stavů se sudým spinem a  $(s+1)(2s+1)$  stavů s lichým spinem. Máme tedy pro částice s poločíselným spinem

$$d\sigma = \frac{s}{2s+1} d\sigma_s + \frac{s+1}{2s+1} d\sigma_a = \\ \left[ |f(\theta)|^2 + |f(\pi - \theta)|^2 - \frac{1}{2s+1} (f(\theta)f^*(\pi - \theta) + f(\theta)^*f(\pi - \theta)) \right] d\Omega . \quad (17.4)$$

Pro částice s celočíselným spinem je naopak  $s(2s+1)$  stavů s lichým spinem a  $(s+1)(2s+1)$  stavů se sudým spinem. Máme tedy

$$d\sigma = \frac{s+1}{2s+1} d\sigma_s + \frac{s}{2s+1} d\sigma_a = \\ \left[ |f(\theta)|^2 + |f(\pi-\theta)|^2 + \frac{1}{2s+1} (f(\theta)f^*(\pi-\theta) + f(\theta)^*f(\pi-\theta)) \right] d\Omega \quad . \quad (17.5)$$

## 18 Excitace atomu při srážce s částicí

Předpokládejme, že můžeme využít Fermiho pravidla. Počáteční stav obsahuje atom hmotnosti  $M$  a nábojem jádra  $-Ze$  v základním stavu a volnou částici hmotnosti  $m$  a nábojem  $ze$  s hybností  $\vec{p}$ ; konečný stav obsahuje atom v  $n$ -tému excitovaném stavu ( $n$  je multiindex) a opět volnou částici s hybností  $\vec{p}'$ . Interakční potenciál je  $\hat{V}$ . Zákon zachování energie v soustavě, ve které se atom v počátečním stavu jako celek nepohybuje, zapíšeme jako

$$\frac{p'^2}{2m} - \frac{p^2}{2m} + \frac{(\vec{p}' - \vec{p})^2}{2M} + E_n - E_0 = 0 \quad . \quad (18.1)$$

Velké zdědění přinese předpoklad, že bude možné pohyb atomu v konečném stavu zanedbat. Máme pak pro pravděpodobnost přechodu za jednotku času

$$dw_n = \frac{2\pi}{\hbar} \left| \langle n, \vec{p}' | \hat{V} | 0, \vec{p} \rangle \right|^2 \delta \left( \frac{p'^2}{2m} - \frac{p^2}{2m} + E_n - E_0 \right) \frac{d^3 \vec{p}'}{(2\pi\hbar)^3} \quad . \quad (18.2)$$

Integrací vzhledem k  $p'$  (píšeme  $d^3 \vec{p}' = p'^2 d\vec{p}' d\Omega$ ) odstraníme delta funkci

$$dw_n = \frac{m\sqrt{p^2 - 2m(E_n - E_0)}}{4\pi^2 \hbar^4} \left| \langle n, \vec{p}' | \hat{V} | 0, \vec{p} \rangle \right|^2 d\Omega \quad . \quad (18.3)$$

Přejdeme teď k souřadnicové representaci. Normování vlnové funkce částice v konečném stavu musí odpovídat námi vybrané hustotě koncových stavů v (18.2), tj.

$$\langle \vec{p}_1 | \vec{p}_2 \rangle = \delta \left( \frac{\vec{p}_1 - \vec{p}_2}{2\pi\hbar} \right) \Rightarrow \psi_{\vec{p}'}(\vec{r}) = \exp \left\{ \frac{i}{\hbar} \vec{p} \cdot \vec{r} \right\} \quad . \quad (18.4)$$

Zvolíme-li normování dopadající vlny na jednotkový tok

$$\psi_{\vec{p}}(\vec{r}) = \left( \frac{m}{p} \right)^{1/2} \exp \left\{ \frac{i}{\hbar} \vec{p} \cdot \vec{r} \right\} \quad , \quad (18.5)$$

spočteme pak přímo účinný průřez. Interakční potenciál je

$$V = \frac{ze^2}{4\pi\epsilon_0} \left( -\frac{Z}{r} + \sum_a \frac{1}{|\vec{r} - \vec{r}_a|} \right) . \quad (18.6)$$

Dostáváme tak po dosazení do vztahu (18.3) výraz pro diferenciální účinný průřez při excitaci atomu

$$d\sigma_n = \left( \frac{ze^2 m}{4\pi\epsilon_0 \hbar^2} \right)^2 \frac{\sqrt{p^2 - 2m(E_n - E_0)}}{4\pi^2 p} \left| \langle n | \int \left( -\frac{Z}{r} + \sum_a \frac{1}{|\vec{r} - \vec{r}_a|} \right) \exp\{-i\vec{q} \cdot \vec{r}\} d^3 \vec{r} | 0 \rangle \right|^2 d\Omega , \quad (18.7)$$

kde jsme označili  $\vec{q} = (\vec{p}' - \vec{p})/\hbar$ . Fourierův obraz potenciálu vyjádříme pomocí vztahu

$$\int \frac{\exp\{-i\vec{q} \cdot \vec{r}\}}{|\vec{r} - \vec{r}_a|} d^3 \vec{r} = \exp\{-i\vec{q} \cdot \vec{r}_a\} \int \frac{\exp\{-i\vec{q} \cdot \vec{r}\}}{r} d^3 \vec{r} = \frac{4\pi}{q^2} \exp\{-i\vec{q} \cdot \vec{r}_a\} . \quad (18.8)$$

Další úprava spočívá ve vyjádření elementu prostorového úhlu za vztahu

$$\begin{aligned} q^2 &= \frac{1}{\hbar^2} (p^2 + p'^2 - 2p p' \cos\theta) \Rightarrow \\ q dq &= \frac{p p'}{\hbar^2} \sin\theta d\theta = \frac{p p'}{2\pi\hbar^2} d\Omega . \end{aligned} \quad (18.9)$$

Výraz pro diferenciální účinný průřez (18.7) přepíšeme tedy na

$$d\sigma_n = 8\pi \left( \frac{ze^2}{4\pi\epsilon_0 \hbar v} \right)^2 \left| \langle n | \left( -Z + \sum_a \exp\{-i\vec{q} \cdot \vec{r}_a\} \right) | 0 \rangle \right|^2 \frac{dq}{q^3} . \quad (18.10)$$

Pro pružný rozptyl ( $n=0$ ) máme tedy známý vztah

$$d\sigma_e = 8\pi \left( \frac{ze^2}{4\pi\epsilon_0 \hbar v} \right)^2 [Z - F(q)]^2 \frac{dq}{q^3} . \quad (18.11)$$

Zde jsme využili definice rozptylového faktoru

$$\begin{aligned} F(q) &= \int n(r) \exp\{-i\vec{q} \cdot \vec{r}\} d^3 \vec{r} = \int \langle 0 | \sum_a \delta(\vec{r} - \vec{r}_a) | 0 \rangle \exp\{-i\vec{q} \cdot \vec{r}\} d^3 \vec{r} = \\ &= \langle 0 | \sum_a \exp\{-i\vec{q} \cdot \vec{r}_a\} | 0 \rangle . \end{aligned} \quad (18.12)$$

Pro nepružný rozptyl máme s uvážením ortogonality stavů (tj.  $\langle n \neq 0 | 0 \rangle = 0$ )

$$\begin{aligned} d\sigma_r &= \sum_{n \neq 0} d\sigma_n = \\ &= 8\pi \left( \frac{ze^2}{4\pi\epsilon_0 \hbar v} \right)^2 \sum_{n \neq 0} \left| \langle n | \sum_a \exp\{-i\vec{q} \cdot \vec{r}_a\} | 0 \rangle \right|^2 \frac{dq}{q^3} . \end{aligned} \quad (18.13)$$

Obecně platí

$$\begin{aligned} \sum_n |f_{0n}|^2 &= \sum_n f_{0n} f_{0n}^* = \sum_n f_{0n} (f^+)_n |_0 = (f f^+)_0 \Rightarrow \\ \sum_{n \neq 0} |f_{0n}|^2 &= \sum_n |f_{0n}|^2 - |f_{00}|^2 = (f f^+)_0 - |f_{00}|^2 . \end{aligned} \quad (18.14)$$

Aplikujeme-li teď obecný výsledek na matici v (18.13), máme s využitím (18.12)

$$\begin{aligned} \sum_{n \neq 0} \left| \langle n | \sum_a \exp\{-i \vec{q} \cdot \vec{r}_a\} | 0 \rangle \right|^2 &= \\ \langle 0 | \sum_a \sum_b \exp\{i \vec{q} \cdot (\vec{r}_a - \vec{r}_b)\} | 0 \rangle - \left| \langle 0 | \sum_a \exp\{-i \vec{q} \cdot \vec{r}_a\} | 0 \rangle \right|^2 & \\ Z - F^2(q) + \langle 0 | \sum_{a \neq b} \exp\{i \vec{q} \cdot (\vec{r}_a - \vec{r}_b)\} | 0 \rangle &. \end{aligned} \quad (18.15)$$

Dosazení do (18.13)

$$d\sigma_r = 8\pi \left( \frac{ze^2}{4\pi\epsilon_0\hbar\nu} \right)^2 \left[ Z - F^2(q) + \langle 0 | \sum_{a \neq b} \exp\{i \vec{q} \cdot (\vec{r}_a - \vec{r}_b)\} | 0 \rangle \right] \frac{dq}{q^3} . \quad (18.16)$$